

รายงานการวิจัย

เรื่อง

ไธอีดีโรฟเลทรีดักเทลในเซลล์

มะเร็งของคนและสารต้านเอ็นซัยเม่

DIHYDROFOLATE REDUCTASE IN HUMAN

TUMOR CELLS AND ITS INHIBITOR

ผู้เขียน หงษ์สามารถคงกระพัน

ภาควิชาชีวเคมี คณะเภสัชศาสตร์ จุฬาลงกรณ์มหาวิทยาลัย

612.0151
7451
๙.๑

ตัวบันทึกอุดหนุนการวิจัยจากงานประมวลผลแผนกนิติ

ปี พ.ศ. 2525-2526

รายงานการวิจัย

เรื่อง

ไดไฮดรอฟолอคีนทีก เทสใน เชลล์มน เริงของคนและสารต้าน เอ็นซีบี

Dihydrofolate Reductase in Human Tumor Cells and Its Inhibitor



รศ.ดร. สุนัน พงษ์สามารถ

ผศ. เครื่อวัลย์ เอกรักษากิจปัญ

รศ. ปิยา บูรณศิริ

ผศ.ดร. สินธุชัย แก้วกิจปัญ

ได้รับทุนอุดหนุนการวิจัยจากงบประมาณแผ่นดิน

ปีงบประมาณ 2525-2526

คณะ เภสัชศาสตร์

จุฬาลงกรณ์มหาวิทยาลัย

มิถุนายน 2528

บทสรุป

สมมตินะของ เอ็นซีย์ได้ชัยໂຄ-ໄฟ-ເລທຣີດັກເທສຈາກເນື້ອ ເຢືມະ ເຮັງຂອງທາງ ເຕີນອາຫາຣ ໄດ້ແກ່ ພັນຍາວາ ລຳໄລ້ໃຫຍ່ ກະພາະ ມະເຮັງຂອງໄຕ ມະເຮັງຂອງປອດ ແລະ ມະເຮັງຂອງ ເຕ້ານນີ້ຂອງຄົນ ທັສຈາກແຍກໃຫ້ບິສຸທີບັງລໍວນດ້ວຍໂປຣາມິນຊີລ ເພີ້ວ ແລະ ທຳກາຣີເຄຣະໂໄໂຍ ວິຊີສ ເປັໂຕໂໂໂໂມຕີກີ ແລະ ເສ.ເສ ພບວ່າ ເນື້ອ ເຢືມະ ເຮັງຖຸກໜິດມີ ເ恩ຊີມີໄດ້ชัยໂຄ-ໄຟ-ເລທຣີດັກ ເທສຢູ່ໃນຮະດັບສູງ ເມື່ອ ເປີຍກັບ ເ恩ຊີມີ ເຕີວກນີ້ ສິ່ງໄໝສາມາດຄວາມພົບໃນ ເນື້ອ ເຢືມະ ປັກຕິ ເກີບທັງໝົດ ກາຮັກສົກຈາໂໂຍ ວິຊີ ເມທໂຣ ເທຣກ ເຫັນ ໄດ້ ເຕີ່ ຊັ້ນ ໃນກາຮັກປົມາຄຂອງ ເ恩ຊີມີ ໃນມະເຮັງຂອງໄຕ ແລະ ກະພາະອາຫາຣ ພບວ່າໃນ ເນື້ອ ເຢືມະ ເຮັງຂອງໄຕ ແລະ ກະພາະອາຫາຣຂອງ ຄົນປ່າຍມີ ເ恩ຊີມີໄດ້ชัยໂຄ-ໄຟ-ເລທຣີດັກ ເທສ 1.29×10^{-12} ແລະ 3.34×10^{-13} ໂມລ/ກຮມ ເນື້ອ ເຢືມະ ຕາມລຳດັບ ທີ່ ເທົ່າກັບ 5.09×10^{-14} ແລະ 1.07×10^{-14} ໂມລ/ມກ. ໂປຣຕິນ ຕາມລຳດັບ ດໍາ ເທິນໂອເວຼວ໌ ນົມ ເບອ່ວ໌ ຂອງ ເ恩ຊີມີຈາກເນື້ອ ເຢືມະ ເຮັງຂອງໄຕ ມະເຮັງຂອງກະພາະ ເປີຍກັບ ເ恩ຊີມີຈາກທັບໜູນມີດໍາ ເທົ່າກັບ 36,345, 15,421 ແລະ 5,154 ຕາມລຳດັບ ກາຮັກສົກຈາ ກາຮັກທັນ ເ恩ຊີມີໂດຍຢາ ເມທໂຣ ເທຣກ ເຫັນ ພບວ່າ ອາວານ ເຂັ້ມຂັ້ນຂອງ ເມທໂຣ ເທຣກ ທີ່ ສາມາດ ທັນ ເ恩ຊີມີໄດ້ 50% (I_{50}) ຈາກເນື້ອ ເຢືມະ ເຮັງຂອງໄຕ ມະເຮັງຂອງກະພາະມີດໍາ 9.68×10^{-12} M ແລະ 9.00×10^{-12} M ຕາມລຳດັບ ຂັບທີ່ດໍາ I_{50} ຂອງ ເມທໂຣ ເທຣກ ທີ່ ທັນ ເ恩ຊີມີຈາກທັບໜູນມີດໍາ 7.13×10^{-10} M ຜລທີ່ໄດ້ແສດງໃຫ້ ເຫັນວ່າ ກາຮັກທັນຂອງໄດ້ชัยໂຄ-ໄຟ-ເລທຣີດັກ ເທສໃນ ເນື້ອ ເຢືມະ ເຮັງຂອງຄົນມີສົມມຽນ ກາຮັກທັນສູງກວ່າແລະ ເ恩ຊີມີມີອາວານໄວ້ຕ່ອງ ກາຮັກທັນດ້ວຍ ເມທໂຣ ເທຣກ ໄດ້ຕີກວ່າ ເ恩ຊີມີໃນທັບໜູນ

ABSTRACT

Dihydrofolate reductase activity of partially purified enzyme, by protamine sulfate precipitation, from human cancerous tissues of gastro-intestinal tract (such as rectum, colon, stomach), kidney, lung and breast was determined by spectrophotometric assay. It was observed that all of cancerous tissues contain high level of dihydrofolate reductase compared to the same enzyme, which could not be detected in almost all of the normal tissues. The methotrexate titration assay was used to measure the enzyme concentration in kidney and stomach cancers. It was found that human cancerous tissues of kidney and stomach contain dihydrofolate reductase 1.29×10^{-12} and 3.34×10^{-13} mole/gm. tissue, respectively, or equal to 5.09×10^{-14} and 1.07×10^{-10} mole/mg. protein, respectively. The turnover number of dihydrofolate reductase from cancerous tissues of kidney and stomach compared to rat liver enzyme were 36,345, 15,421, and 5,154, respectively. The enzyme inhibition by methotrexate was also studied. The concentrations of methotrexate required for 50% inhibition (I_{50}) to the enzyme from kidney and stomach cancers were 9.68×10^{-12} M and 9.00×10^{-12} M, respectively. The I_{50} value observed in rat liver enzyme was 7.13×10^{-10} M. The results suggested that dihydrofolate reductase activity of human cancerous tissues were higher and the enzyme was more sensitive to be inhibited by methotrexate than the enzyme of rat liver.

กิติกรรมประกาศ

งานวิจัยนี้ได้รับทุนอุดหนุนการวิจัยจากบประมาณแผ่นดิน ปีงบประมาณ 2525-2526
คณะผู้วิจัยขอขอบคุณผู้สนับสนุนงานวิจัยนี้ดังต่อไปนี้

1. รศ.ดร. ประโภชิ พล่งวิทยา หัวหน้าภาควิชาชีวเคมี คณะเภสัชศาสตร์
ที่ให้ความร่วมมือและอำนวยความสะดวกในการทำวิจัยครั้งนี้ให้สำเร็จลงได้
2. ภาควิชาศัลยศาสตร์ คณะแพทยศาสตร์ จุฬาลงกรณ์มหาวิทยาลัย และคุณโอมสิริ
ศิริบุญ หัวหน้าห้องผ่าตัดที่ให้ความร่วมมืออย่างตื่นตัวในการจัด เก็บตัวอย่าง เนื้อเยื่อมะเร็ง
3. แผนกพยาธิวิทยาและ พล.ต.ต. ไฟชร์ย์ หลิมรัตน์ ผู้บังคับการสถาบันนิติเวช
วิทยา โรงพยาบาลตำรวจ ที่ให้ความกรุณาเกี่ยวกับการจัด เก็บตัวอย่างเนื้อเยื่อมะเร็งและ
เนื้อเยื่อปกติ

สารบัญ

	หน้า
ชื่อ เรื่องและชื่อผู้วิจัย.....	i
บทคัดย่อภาษาไทย.....	ii
บทคัดย่อภาษาอังกฤษ.....	iii
กิตกรรมประจำปี.....	iv
สารบัญเรื่อง.....	v
สารบัญตาราง.....	vii
สารบัญรูป.....	viii
บทนำ.....	1
วัสดุและวิธีวิจัย.....	14
สารเคมี.....	14
เครื่องมือ.....	14
น้ำยาทดลอง.....	15
วิธีวิจัย.....	16
- การเก็บตัวอย่าง.....	16
- การเตรียม เอ็นซีพี.....	16
- วิธีทดสอบรสนะของ เอ็นซีพี.....	17
- การวิเคราะห์โดย Methotrexate Titration.....	17
ผลการทดลอง.....	18
สมรรถนะของ เอ็นซีพี ไดซ์บิโตรฟ เลทริก เทสใน เนื้อเยื่อมะเร็ง.....	18
การหาปริมาณเอ็นซีพีโดยวิธี Methotrexate Titration.....	18
การศึกษา Methotrexate Inhibition ของ Dihydrofolate Reductase จากเนื้อเยื่อมะเร็งของไก่และกระเพาะคน.....	38
การศึกษาค่า Turnover Number ของ Dihydrofolate Reductase จากเนื้อเยื่อมะเร็งของไก่และกระเพาะคน.....	43

หน้า

วิจารณ์และสรุป.....	44
สมรรถนะของ dihydrofolate reductase ในเนื้อเยื่อมะเร็ง.....	44
ผลของ methotrexate ต่อ dihydrofolate reductase.....	45
การเปรียบเทียบสมรรถนะโดย เอ็นซิม turnover number.....	46
การท้ามของ methotrexate ต่อ dihydrofolate reductase จาก เนื้อเยื่อมะเร็งของไก่และกระเพาะ.....	47
เอกสารอ้างอิง.....	49

สารบัญตาราง

ตารางที่

หน้า

1.	คุณสมบัติบางอย่างของ dihydrofolate reductase จากแหล่ง	
	ต่าง ๆ	4-6
2.	เอ็นซีเมจลนศานศร์ของ dihydrofolate reductase จากแหล่ง	
	ต่าง ๆ	10
3.	เปรียบเทียบ dihydrofolate reductase activity ในเนื้อเยื่อ	
	มะ เร็งและ เนื้อ เยื่อปกติของผนังทวาร.....	19
4.	เปรียบเทียบ dihydrofolate reductase activity ในเนื้อเยื่อ	
	มะ เร็งและ เนื้อ เยื่อปกติของลำไส้ใหญ่.....	20
5.	เปรียบเทียบ dihydrofolate reductase activity ในเนื้อเยื่อ	
	มะ เร็งและ เนื้อ เยื่อปกติของกระเพาะ.....	21
6.	เปรียบเทียบ dihydrofolate reductase activity ในเนื้อเยื่อ	
	มะ เร็งและ เนื้อ เยื่อปกติของไต.....	22
7.	เปรียบเทียบ dihydrofolate reductase activity ในเนื้อเยื่อ	
	มะ เร็งและ เนื้อเยื่อปกติของปอด.....	23
8.	เปรียบเทียบ dihydrofolate reductase activity ในเนื้อเยื่อ	
	มะ เร็งและ เนื้อเยื่อปกติของเด็ก.....	24
9.	ปริมาณและ activity ของ dihydrofolate reductase ในเนื้อเยื่อ	
	มะ เร็งและในตับทู.....	39
10.	เปรียบเทียบความเข้มข้นของ methotrexate ที่ห้าม 50% ของ เอ็นซีเม	
	ไซโคฟอลทรีดิก เหลินในเนื้อเยื่อมะเร็งและตับทู.....	42

สารบัญรูป

รูปที่

หน้า

1. เปรียบเทียบลำดับกรดอ่อนของ dihydrofolate reductase จาก แหล่งต่าง ๆ	7-8
2. การห้ามของ dihydrofolate reductase จาก เนื้อเยื่อมะเร็งของไก่ เมื่อเพิ่มความเข้มข้นของ methotrexate เอ็นซิม (4 units) titrate กับ methotrexate ที่เพิ่มความเข้มข้นตามลำดับ.....	26-27
3. ผลของ methotrexate 1.935×10^{-11} M ต่อ activity ของ dihydrofolate reductase (ไก่) ที่จุดศักดิ์สูตรแล้วกับปริมาณ ของ เอ็นซิม 106.7 μl (activity 20.37 nmole/min/ml) ซึ่ง สมมูลย์กับ methotrexate.....	28-29
4. การห้ามของ dihydrofolate reductase จาก เนื้อเยื่อมะเร็งของกระเพาะ เมื่อเพิ่มความเข้มข้นของ methotrexate เอ็นซิม (0.72 unit) titrate กับ methotrexate ในความเข้มข้นเพิ่มขึ้นตามลำดับ.....	30-31
5. ผลของ methotrexate (12×10^{-12} M) ต่อ activity ของ dihydro- folate reductase ที่จุดศักดิ์สูตรแล้วกับปริมาณ เอ็นซิม 160 μl (activity 3.6 nmole/min/ml) จากกระเพาะซึ่งสมมูลย์กับ methotrexate.....	32-33
6. การห้าม dihydrofolate reductase จาก เนื้อเยื่อตับหมู เมื่อเพิ่มความ เข้มข้นของ methotrexate เอ็นซิม (8.28 units) titrate กับ methotrexate ในความเข้มข้นเพิ่มขึ้นตามลำดับ.....	34-35
7. ผลของ methotrexate (6.65×10^{-10} M) ต่อ activity ของ dihydrofolate reductase ที่จุดศักดิ์สูตรแล้วกับปริมาณของ เอ็นซิม 27.5 μl (activity 301 nmole/min/ml) จากตับหมู ซึ่งสมมูลย์กับ methotrexate.....	36-37

รูปที่

หน้า

8. การห้ามของ dihydrofolate reductase จากเนื้อเยื่อตับหมู เมื่อเพิ่มความเข้มข้นของ methotrexate เอ็นซิม (4 units) titrate กับ methotrexate ในความเข้มข้นเพิ่มขึ้นตามลำดับ activity ของ เอ็นซิมลดลง 50% (I_{50}) ที่ความเข้มข้นของ methotrexate เท่ากับ 7.13×10^{-10} M 40-41



เอนไซม์ dihydrofolate reductase (EC 1.5.1.3) เป็นเอนไซม์ที่ทำหน้าที่เร่งปฏิกิริยาตัดขั้นของ dihydrofolate หรือ folate ได้เป็น tetrahydrofolate พร้อมกับการเกิดออกซิเดชันของ reduced nicotinamide adenine dinucleotide phosphate (NADPH) หรือ reduced nicotinamide adenine dinucleotide (NADH) ไปเป็น nicotinamide adenine dinucleotide phosphate (NADP) หรือ nicotinamide adenine dinucleotide (NAD) ตามลำดับ tetrahydrofolate เป็น cofactor ที่สำคัญของ เอนไซม์หลายตัวที่เกี่ยวข้องกับการสังเคราะห์กรดนิวคลีอิก ได้แก่ purine และ thymidylate เป็นต้น นอกจากนี้ช่วง เคราะห์ของกรดอมโนในบางตัวได้แก่ glycine และ methionine ก็ต้องการ tetrahydrofolate ด้วย เอนไซม์ dihydrofolate reductase ได้รับความสนใจศึกษากันมาก เมื่อจาก เป็น เอนไซม์ตัวสำคัญที่เป็นเป้าหมายที่ถูกห้ามได้ด้วยยาพวง เคمبัปค์หลายชนิด (1,2) ได้แก่ amethopterin หรือ methotrexate (MTX) ซึ่งใช้บัปค์โรมะ เริงหลายชนิด trimethoprim ใช้บัปค์โโรคติด เชื้อบางชนิดและ pyrimethamine ใช้บัปค์โรมาราเลเรย์ เป็นต้น

การศึกษา dihydrofolate reductase สามารถแยกออกมาได้บริสุทธิ์หรือค่อนข้างบริสุทธิ์จาก เชื้อบัค เครื่องและจาก เซลล์ของสัตว์ทดลองชนิดต่าง ๆ ได้มีการศึกษาโครงสร้างและคุณสมบัติของเอนไซม์จากแหล่งต่าง ๆ ได้แก่ Streptococcus faecium (3,4) Lactobacillus casei (5,6) Diplococcus pneumoniae (7) Escherichia coli (8,9,10) Ehrlich ascite cells (11,12) เซลล์มะเร็งเม็ดเลือดขาว L1210 ของหมู (murine lymphoma L1210) (13,14) Sarcoma 180 cells (15) ต่อมทั้ยมัสของลูกวัว (calf thymus) (16) ตับไก่ (chicken liver) (17,18,19) ตับวัว (bovine liver) (20,21,22) ตับหมู (porcine liver) (23) ตับและม้ามของหมูถีบจักร (mouse liver and spleen) (24) ตับและลำไส้เล็กของหมูตะ เก่า (guinea pig liver and intestine) (25) เป็นต้น

จากการศึกษา dihydrofolate reductase ในบакทีเรียต้านยา methotrexate คือ Streptococcus faecium พbmี เอ็นซิมมอยู่ 2 isozyme (26,27) dihydrofolate reductase ที่แยกได้จาก Streptococcus faecium var duran strain A มีเอ็นซิม ซึ่งให้ชื่อว่า mutant enzyme หรือ isoenzyme II ซึ่งพบว่ามีการเคลื่อนที่ใน polyacrylamide gel electrophoresis ได้น้อยกว่าอีกตัวหนึ่งที่ให้ชื่อว่า wild enzyme หรือ isoenzyme I ซึ่งเป็นเอ็นซิมที่มีคุณสมบัติคล้ายกับ dihydrofolate reductase ที่พบในสเตรน (strain) ของ Streptococcus faecium var duran ATCC 8043 ซึ่งเป็นเชื้อที่ไวต่อการฆ่าด้วยยา methotrexate และพบว่า isoenzyme II มีคุณสมบัติเหมือนกับ dihydrofolate reductase ในเซลล์สตัวเดียวกันสามารถ reduce พวก folate ได้ เช่นเดียวกับ dihydrofolate ให้เป็น tetrahydrofolate แต่การ reduction ของ folate เกิดขึ้นด้วยอัตราเร็วที่ช้ากว่า dihydrofolate ส่วน isoenzyme I สามารถ reduce เฉพาะ dihydrofolate เท่านั้นไม่ reduce พวก folate (26) และในอีกการศึกษาหนึ่งในเชื้อ Streptococcus faecium strain ที่ต้านยา methotrexate เช่นกัน พbmี 2 isozyme เรียกเป็น Form I และ Form II (27) การศึกษาใน Lactobacillus casei strain ที่ต้านยา methotrexate พbmีอยู่เป็น 2 isozyme เช่นกัน ให้ชื่อเป็น Form I และ Form II (30) ในเชื้อ strain ต้านยา methotrexate ของ Escherichia coli (RT 500) สามารถแยกได้ 2 isozyme โดยวิธีโครมาโทกราฟด้วย methotrexate affinity column (10) การต้านยาของเชื้อบакทีเรียอาจเกิดโดยการเปลี่ยนแปลงภายในยีนของบакทีเรียทำให้เพิ่มการเลือกสร้าง เอ็นซิม เพิ่มขึ้นอีกตัวหนึ่งที่ไม่ใช่ เอ็นซิมตัวที่พบมีอยู่มาก ตามปกติใน เชื้อที่ไวต่อยาตัวดังเดิม (28) การเปลี่ยนแปลงของเชื้อทำให้ต้านยา เช่นนี้ เป็นวิธีหนึ่งที่ทำให้จุลชีพ เพิ่มความสามารถของมันให้ทนอยู่ได้และสามารถจะใช้สาร folate ที่มีอยู่ ซึ่งทำให้เพิ่มระดับของ isoenzyme II ให้มากขึ้นในบакทีเรียที่ต้านยาเมื่อเทียบกับพวก wild หรือ sensitive strain ของบакทีเรีย ยิ่งกว่านั้นยังพบว่าในเซลล์ของบакทีเรีย Escherichia coli ที่ติดเชื้อไวรัสT-even bacteriophage จะมีเอ็นซิม dihydrofolate reductase สูงกว่า เชื้อปกติถึง 20 เท่าและ เอ็นซิมทั้งสองก็มีคุณสมบัติคล้ายอย่างต่ำกัน (29) ในเซลล์ของสตัวก็พบความสัมพันธ์คล้าย ๆ กันนี้ใน methotrexate-resistant subline ของ

Ehrlich ascite carcinoma พับมีส่วนร่วมของ dihydrofolate reductase มากกว่า ประมาณ 14 เท่าของเซลล์เดิมของมันที่ไวต่อยา (31) เซลล์เพาะเลี้ยงของ mouse sarcoma 180 พับมีปริมาณของ dihydrofolate reductase มากขึ้นเมื่อเซลล์เพิ่มการด้านยา methotrexate (32,33) ในเซลล์ของ mouse leukemia ที่เพาะเลี้ยงพบว่าเพิ่มระดับของ dihydrofolate reductase ในเซลล์ที่ด้านยา methotrexate ขึ้นมากกว่าในเซลล์ของ parent strain (34,35)

Dihydrofolate reductase ที่ศึกษาในบัก เครีและ เซลล์ของสตัฟพบว่ามีน้ำหนักไม่เลกูลอยู่ในขนาดระหว่าง 15,000-30,000 ตัวดันขึ้นกับแหล่งที่มาของเอ็นซัยม์ (36) และการทำงานของเอ็นซัยม์ พบว่ามี pH optimum แตกต่างกันอยู่ในช่วง pH 4 จนถึง pH มากกว่า 7 แล้วแต่ชนิดและแหล่งที่มาของเอ็นซัยม์ คุณสมบัติเหล่านี้และค่า turnover number ซึ่งแสดงถึงความสามารถของเอ็นซัยม์ที่เปลี่ยนปริมาณเป็น moles ของ dihydrofolate ให้เป็น tetrahydrofolate/นาที/mole ของเอ็นซัยม์ ได้รวมรวมไว้ในตารางที่ 1

เนื่องจากความสำคัญของเอ็นซัยม์ dihydrofolate reductase ของการเป็นเอ็นซัยม์ เป้าหมายของยาต้านมะเร็งคือ methotrexate และ ยาต้านเชื้อได้แก่ trimethoprim และ pyrimethamine ดังกล่าวแล้วทำให้มีผู้สนใจศึกษาโครงสร้างโดยละเอียดของเอ็นซัยม์นี้อย่างมาก เพื่อต้องการเข้าใจอย่างลึกซึ้งถึงกลไกการห้าม เอ็นซัยม์ของยาเหล่านี้ มีรายงานเกี่ยวกับโครงสร้างการเรียงตัวของกรดอะมิโนของเอ็นซัยม์ทั้งจากบัก เครีได้แก่ Escherichia coli (10) Lactobacillus casei (6), Streptococcus faecium (4,37) และ Neisseria gonorrhoeae (57) เป็นต้น และจาก เซลล์สตัฟได้แก่ chicken liver (19) porcine liver (23) bovine liver (22) และ murine L1210 lymphoma (14) เป็นต้น การเปรียบเทียบการเรียงตัวของกรดอะมิโนในโครงสร้างของ dihydrofolate reductase จากแหล่งต่าง ๆ ดังกล่าวได้รวมไว้ในรูปที่ 1 การศึกษาโครงสร้างของ เอ็นซัยม์ในเนื้อเยื่อของสตัฟทำได้ไม่สะดวก เท่าการศึกษาในเซลล์ของบัก เครีเนื่องจากมีเอ็นซัยม์อยู่น้อยมากในเนื้อเยื่อของเซลล์สตัฟ (18) เนื้อเยื่อตับจะเป็นอวัยวะที่นำมาศึกษาก็มาก เพราะเป็นอวัยวะที่พับมีเอ็นซัยม์สูง

ตารางที่ 1 คุณสมบัติบางอย่างของ dihydrofolate reductase จากแหล่งต่าง ๆ

แหล่งของ Dihydrofolate reductase	ขนาดโมเลกุล (Molecular weight)	pH optima	Turnover number moles/min/mole of enzyme
Escherichia coli B strain MP1428 MTX-resistant	17,300 (8) (equilibrium sedimentation) 16,810 (8) (amino acid composition)	6.5 (8)	600 ± 50 (8) (MTX - titration)
E. coli (RT 500) MTX-resistant isozyme I isozyme II		7.0 (10) - (10)	1,800 (10) 126 (10)
Lactobacillus casei MTX-resistant isozyme I isozyme II	14,900 (5) (gel filtration, electrophoresis, ultracentrifugation) 15,000 (30) (electrophoresis)	6.5 (5)	180 (5) (molecular weight)
Streptococcus faecium MTX-resistant isozyme I	20,000 (27) (equilibrium sedimentation)	6.5 (27)	6,000(27) (molecular weight)

ตารางที่ 1 คุณสมบัติบางอย่างของ dihydrofolate reductase จากแหล่งต่าง ๆ (ต่อ)

แหล่งของ Dihydrofolate reductase	ขนาดโมเลกุล (Molecular weight)	pH optima	Turnover number moles/min/mole of enzyme
Streptococcus faecium var. durans strain A MTX-resistant			
isoenzyme I (wild type)	28,000 (26) (equilibrium sedimentation)	5.8 (26)	8,000 (26) (molecular weight)
isoenzyme II(mutant type)	20,000 (26) (equilibrium sedimentation)	5.8 (26)	900 (26) (molecular weight)
Streptococcus faecium R.		6.7 (3)	
Neisseria gonorrhoeae	18,000 (58) (electrophoresis) 17,731 (58) (amino acid composition)	6.4 (58)	14,403 (58)
Bovine liver	22,100 (21) (equilibrium sedimentation) 21,500 (21) (amino acid composition) 22,500 (20) (equilibrium sedimentation)	4.8,5.0,6.2 (21)	578 (20) (MTX-titration)

เอกสารนี้ได้รับการอนุมัติ
โดยคณะกรรมการวิจัยแห่งชาติ

ตารางที่ 1 คุณสมบัติบางอย่างของ dihydrofolate reductase จากแหล่งต่าง ๆ (ต่อ)

แหล่งของ dihydrofolate reductase	ขนาดโมเลกุล (Molecular Weight)	pH optima	Turnover number moles/min/mole of enzyme
Mouse liver	20,000(24) (gel filtration)	4.5-5.5 (24)	940 (24) (MTX-titration)
Mouse spleen	20,000 (24) (gel filtration)	7.5-8.5 (24)	940 (24) (MTX-titration)
L 1210 lymphoma MTX-resistant	20,000 (13) (gel filtration)	8.3 (13)	940 (24) (MTX-titration)
Ehrlich ascites carcinoma		5.9,7.6 (11)	

1 2 3 4 5 6 7 8 9 10 11 12 13 14 15 16 17 18 19 20

BL Val Arg Pro Leu Asn Cys Ile Val Ala Val Ser Gin Asn Met Gly Ile Gly Lys Asn Gly
 PL Val Arg Pro Leu Asn Cys Ile Val Ala Val Ser Gin Asn Met Gly Ile Gly Lys Asn Gly
 ML Val Arg Pro Leu Asn Cys Ile Val Ala Val Ser Gin Asn Met Gly Ile Gly Lys Asn Gly
 CL Val Arg Ser Leu Asn Ser Ile Val Ala Val Cys Asn Met Gly Ile Gly Lys Asp Gly
 NG Met Leu Lys Ile Thr Ile Ile Ala Ala Cys Asn Glu Asn Leu Cys Ile Gly Ala Gly Asn
 EC Met Ile Ser Leu Ile Ala Ala Leu Ala Val Asp Arg Val Ile Gly Met Glu Asn
 LC Thr Ala Phe Leu Trp Ala Glu Asn Arg Asp Gly Leu Ile Gly Lys Asp Gly
 SF_{II} Met Phe Ile Ser Met Trp Ala Glu Asp Lys Asn Gly Leu Ile Gly Lys Asp Gly
 SF_I Met Leu Ala Ala Ile Trp Ala Glu Asn Gly Leu Ile Gly Lys Glu Asp

21 22 23 24 25 26 27 28 29 30 31 32 33 34 35 36 37 38 39 40

BL Asp Leu Pro Trp Pro Pro Leu Arg Asn Glu Phe Gin Tyr Phe Gin Arg Met Thr Thr Val
 PL Asp Leu Pro Trp Pro Pro Leu Arg Asn Glu Tyr Lys Tyr Phe Gin Arg Met Thr Thr Thr
 ML Asp Leu Pro Trp Pro Pro Leu Arg Asn Glu Phe Lys Tyr Phe Gin Arg Met Thr Thr Thr
 CL Asn Leu Pro Trp Pro Pro Leu Arg Asn Glu Tyr Lys Tyr Phe Gin Arg Met Thr Ser Thr
 NG Ala Met Pro Trp His Ile Pro Glu Asp Phe Ala Phe Phe Lys Val Tyr Thr Leu
 EC Ala Met Pro Trp Asn Leu Pro Ala Asp Leu Ala Trp Phe Lys Arg Asn Thr Leu
 LC His Leu Pro Trp His Leu Pro Asp Leu His Tyr Phe Arg Ala Glu Thr Val
 SF_{II} Leu Leu Pro Trp Arg Leu Pro Asn Asp Met Arg Phe Phe Arg Glu His Thr Met
 SF_I Gln Leu Pro Trp Arg Leu Pro Asn Asp Leu Lys Phe Phe Lys Gln Met Thr Glu Ala

41 42 43 44 45 46 47 48 49 50 51 52 53 54 55 56 57 58 59 60

BL Ser Ser Val Glu Gly Lys Glu Asn Leu Val Ile Met Gly Arg Lys Thr Trp Phe Ser Ile
 PL Ser Ser Val Glu Gly Lys Glu Asn Leu Val Ile Met Gly Arg Lys Thr Trp Phe Ser Ile
 ML Ser Ser Val Glu Gly Lys Gln Asn Leu Val Ile Met Gly Arg Lys Thr Trp Phe Ser Ile
 CL Ser His Val Glu Gly Lys Gln Asn Ala Val Ile Met Gly Lys Thr Trp Phe Ser Ile
 NG Gly Lys Pro Val Ile Met Gly Arg Lys Thr Trp Glu Ser Leu
 EC Asn Lys Pro Val Ile Met Gly Arg His Thr Trp Glu Ser Ile
 LC Gly Lys Ile Met Val Vai Gly Arg Arg Thr Tyr Glu Ser Phe
 SF_{II} Asp Lys Ile Leu Val Met Gly Arg Lys Thr Tyr Glu Gly Met
 SF_I Asn Thr Leu Val Met Gly Arg Lys Thr Phe Glu Gly Met

61 62 63 64 65 66 67 68 69 70 71 72 73 74 75 76 77 78 79 80

BL Pro Glu Lys Asn Arg Pro Leu Lys Asp Arg Ile Asn Ile Val Leu Ser Arg Glu Leu Lys
 PL Pro Glu Lys Asn Arg Pro Leu Lys Asp Arg Ile Asn Ile Val Leu Ser Arg Glu Leu Lys
 ML Pro Glu Lys Asn Arg Pro Leu Lys Asp Arg Ile Asn Ile Val Leu Ser Arg Glu Leu Lys
 CL Pro Glu Lys Asn Arg Pro Leu Lys Asp Arg Ile Asn Ile Val Leu Ser Arg Glu Leu Lys
 NG Pro Lys Pro Leu Pro Gly Arg Arg Ile Val Ile Ser Arg Gln Ala Asp
 EC Gly Arg Pro Leu Pro Gly Arg Lys Asn Ile Ile Leu Ser Ser Gln Pro Gly
 LC Pro Lys Arg Pro Leu Pro Glu Arg Thr Asn Val Val Leu Thr His Gln Glu Asp
 SF_{II} Gly Lys Leu Ser Leu Pro Tyr Arg His Ile Ile Val Leu Thr Thr Gln Lys Asp
 SF_I Gly (Lys) (Arg)Pro Leu (Pro)

81 82 83 84 85 86 87 88 89 90 91 92 93 94 95 96 97 98 99 100

BL Glu Pro Pro Lys Gly Ala His Phe Leu Ala Lys Ser Leu Asp Asp Ala Leu Glu Leu Ile
 PL Glu Pro Pro Gln Gly Ala His Phe Leu Ala Lys Ser Leu Asp Asp Ala Leu Lys Leu Thr
 ML Glu Pro Arg Gly Ala His Phe Leu Ala Lys Ser Leu Asp Asp Ala Leu Arg Leu Ile
 CL Glu Ala Pro Lys Gly Ala His Tyr Leu Ser Lys Ser Leu Asp Asp Ala Leu Ala Leu Leu
 NG Tyr Cys Ala Ala Gly Ala Glu Thr Val Ala Ser Leu Glu Val Ala Leu Ala Leu Cys
 EC Thr Asp Asp Arg Val Thr Trp Val Lys Ser Val Asp Glu Ala Ile Ala Ala Cys
 LC Tyr Gln Ala Gln Gly Ala Val Val His Asp Val Ala Ala Val Phe Ala Tyr Ala
 SF_{II} Phe Lys Val Glu Lys Asn Ala Glu Val Leu His Ser Ile Asp Glu Leu Leu Ala Tyr Ala
 SF_I

101 102 103 104 105 106 107 108 109 110 111 112 113 114 115 116 117 118 119 120

BL Glu Asp Pro Glu Leu Thr Asn Lys Val Asp Val Trp Ile Val Gly Gly Ser Ser Val
 PL Glu Gln Pro Glu Leu Lys Asp Lys Val Asp Met Val Trp Ile Val Gly Gly Ser Ser Val
 ML Glu Gln Pro Glu Leu Ala Ser Lys Val Asp Met Val Trp Ile Val Gly Gly Ser Ser Val
 CL Asp Ser Pro Glu Leu Lys Ser Lys Val Asp Met Val Trp Ile Val Gly Gly Thr Ala Val
 NG Ala Gly Ala Ala Val Ile Met Gly Gly Ala Gln Ile
 EC Gly Asp Val Pro Glu Ile Met Val Ile Gly Gly Gly Arg Val
 LC Lys Gln His Leu Asp Gln Glu Ile Leu Val Ile Ala Gly Gly Ala Gln Ile
 SF_{II} Asp Ile Pro Glu Asp Ile Tyr Val Ser Gly Gly Ser Arg Ile
 SF_I

121 122 123 124 125 126 127 128 129 130 131 132 133 134 135 136 137 138 139 140

BL Tyr Lys Glu Ala Met Asn Lys Pro Gly His Val Arg Leu Phe Val Thr Arg Ile Met Glu
 PL Tyr Lys Glu Ala Met Asn Lys Pro Gly His Ile Arg Leu Phe Val Thr Arg Ile Met Lys
 ML Tyr Glu Ala Met Asn Glu Pro Gly His Leu Arg: Leu Phe Val Thr Arg Ile Met Glu
 CL Tyr Lys Ala Ala Met Gly Lys Pro Ile Asn His Arg Leu Phe Val Thr Arg Ile Leu His
 NG Tyr Gly Ala Met Pro Leu Ala Thr Asp Leu Arg Ile Thr Glu Val Asp Leu
 EC Tyr Glu Glu Phe Leu Pro Lys Ala Gln Lys Leu Tyr Leu Thr His Ile Asp Ala
 LC Phe Thr Ala Phe Lys Asp Asp Val Asp Thr Leu Leu Val Thr Arg Leu Ala Gly
 SF_{II} Phe Gln Ala Leu Leu Pro Glu Thr Lys Ile Ile Trp Arg Thr Leu Ile Asp Ala
 SF_I

141 142 143 144 145 146 147 148 149 150 151 152 153 154 155

BL Glu Phe Glu Ser Asp Ala Phe Phe Pro Glu Ile Asp Phe Glu Lys
 PL Glu Phe Glu Ser Asp Thr Phe Phe Pro Glu Ile Asp Leu Glu Lys
 ML Glu Phe Glu Ser Asp Thr Phe Phe Pro Glu Ile Asp Leu Gly Lys
 CL Glu Phe Glu Ser Asp Thr Phe Phe Pro Glu Ile Asp Tyr Lys Asp
 NG Ser Val Gly Ala Phe Phe Pro Glu Ile Asp Arg Thr His Trp Arg Glu
 EC Gln Val Glu Gly Asp Thr His Phe Pro Asp Tyr Glu Pro Asp Asp Trp Glu Ser
 LC Ser Phe Glu Gly Asp Thr Lys Met Ile Pro Leu Asn Trp Asp Asp Phe Thr Lys
 SF_{II} Glu Phe Glu Gly Asp Thr Phe Ile Gly Glu Ile Asp Phe Thr Ser Phe Glu Leu
 SF_I

156 157 158 159 160 161 162 163 164 165 166 167 168 169 170 171 172

BL Tyr Lys Leu Leu Pro Glu Tyr Pro Gly Val Pro Leu Asp Val Gln Glu Glu
 PL Tyr Lys Leu Leu Ser Glu Cys Ser Gly Val Pro Ser Asp Val Gln Glu Glu
 ML Tyr Lys Leu Leu Pro Glu Tyr Pro Gly Val Leu Ser Glu Val Gln Glu Glu
 CL Phe Lys Leu Leu Thr Glu Tyr Pro Gly Val Pro Ala Asp Ile Gln Glu Glu
 NG Ala Glu Arg: Thr Glu Arg Arg Val Ser Ser
 EC Val Phe Ser Glu Phe His Asp Ala Asp Ala Gln Asn Ser
 LC Val Ser Ser Arg Thr Val Glu Asp Thr Asn Pro Ala
 SF_{II} Val Glu Glu His Glu Gly Ile Val Asn Gln Glu Asn Gln Tyr
 SF_I (Met)Asp Glu Lys Asn Pro Tyr

173 174 175 176 177 178 179 180 181 182 183 184 185 186

BL Lys Gly Ile Lys Tyr Lys Phe Glu Val Tyr Glu Lys Asn Asn
 PL Lys Gly Ile Lys Tyr Lys Phe Glu Val Tyr Glu Lys Asn Asn
 ML Asp Gly Ile Lys Tyr Lys Phe Glu Val Tyr Glu Lys Lys Asp
 CL Asp Gly Ile Gln Tyr Lys Phe Glu Val Tyr Glu Lys Ser Val Leu Ala Gln
 NG Lys Val Ile Ala Tyr Thr Phe Val His Tyr Leu Gly Lys
 EC His Ser Tyr Cys Phe Glu Ile Leu Glu Arg: Arg
 LC Leu Thr His Thr Tyr Glu Val Trp Glu Lys Lys Ala
 SF_{II} Pro His Arg Phe Gln Lys Trp Glu Lys Met Ser Lys Val Val
 SF_I Ala His Gin Phe Glu Thr Tyr Glu Arg Lys Arg Lys

การศึกษาเอ็นซีเมจลนศาสตร์ของ dihydrofolate reductase ได้มีการศึกษาใน *S. faecium* (3,27) *E. coli* (8) การศึกษาเอ็นซีเมจาก *E. coli* B (strain MP 1428)พบว่ามีความสามารถออกซิได้ส์ NADPH ได้เร็วกว่า NADH ถึง 5.1 เท่า และไม่ทำหน้าที่รีติวัล folic acid มีการศึกษาเอ็นซีเมในเซลล์สตัวได้แก่ chicken liver (38) calf thymus (16) และจากเซลล์มะเร็ง Ehrlich ascite carcinoma (11) การศึกษาเอ็นซีเมจลนศาสตร์ของเอ็นซีเมจากแหล่งต่าง ๆ พนມค่า Km ต่าง ๆ กันดังที่ได้สรุปรวมไว้ในตารางที่ 2

สารท้ามเอ็นซีเมโดยทั่ว ๆ ไปคือพาก organic mercurials ซึ่งจะมีผลต่อ sulfhydryl group ในโครงสร้างโปรตีนของเอ็นซีเมได้แก่ p-chloromercuribenzoate (PMB) มีรายงานว่าท้ามการทำงานของ dihydrofolate reductase ของ *S. faecium* (3) ทั้ง phenylmercuric acetate และ PMB พนว่าท้ามการทำงานของ isoenzyme I ของ *S. faecium* (26) แต่เอ็นซีเมนี้ไม่ถูกท้ามด้วย methylmercuric bromide หรือ methylmercuric iodide ในขณะที่ isoenzyme II ไม่ถูกท้ามด้วยสาร mercurials ตั้งกล่าวทั้งหมด แต่จะถูกท้ามโดย urea (26) ซึ่งเป็นสารที่มีผลต่อ hydrogen bonding ของโครงสร้างโปรตีนในขณะที่ urea มีผลกระตุ้นเล็กน้อยต่อ dihydrofolate reductase isozyme I จาก *L. casei* (5) ผลของ organic mercurials ต่อ dihydrofolate reductase ของเซลล์สตัวมีรายงานว่าไปกระตุ้น dihydrofolate reductase ของ Ehrlich ascite cells (12) และ murine L1210 lymphoma ของ mouse liver และ spleen (24) กระตุ้นเพียงเล็กน้อยต่อ guinea pig liver และ small intestine (25) ซึ่งบ้องกันได้โดย EDTA ในขณะที่ไม่พบว่ากระตุ้นเอ็นซีเมจากบакเตรี *E. coli* (29) ที่พบต่างออกไปคือ dihydrofolate reductase จาก bovine liver จะถูกท้ามด้วย PMB รวมทั้งสารพาก mercuric chloride และ ethylmercuribromide (21) สารพากที่ทำให้โครงสร้างของโปรตีนเสียรูปได้แก่ urea และ quanidine HCl มีรายงานว่าการกระตุ้น dihydrofolate reductase จากเซลล์สตัวได้แก่ Ehrlich ascites (12) murine L1210 lymphoma (13) chicken liver (39) mouse liver และ spleen (24) guinea pig liver และ small intestine (25) ส่วน methyl mercuribromide ในกระตุ้นเอ็นซีเมนี้ทั้งจาก mouse liver และ spleen (24) และ guinea pig liver

ตารางที่ 2 เอ็นซีม์จลนศาสตร์ของ dihydrofolate reductase จากแหล่งต่าง ๆ

แหล่งของ Dihydrofolate reductase	ค่า Km ต่อ substrate			
	Folate	Dihydrofolate	NADPH	NADH
Proteus vulgaris		2.4×10^{-5} M (40)	2.8×10^{-5} M (40)	
Escherichia coli Strain MP 1428 MTX-resistant		0.44×10^{-6} M(8)	6.45×10^{-6} M(8)	320×10^{-6} M(8)
Escherichia Strain M 48-34		2.6×10^{-5} M (40)	1.0×10^{-5} M (40)	
Streptococcus faecium R.		4.0×10^{-6} M (3)	4.6×10^{-5} M(3)	
Streptococcus faecium MTX-resistant		7×10^{-6} M (27)	2×10^{-5} M (27)	
Staphylococcus aureus strain 209		2.0×10^{-5} M (40)	1.8×10^{-5} M(40)	
Neisseria gonorrhoeae		2×10^{-6} M (58)	10×10^{-6} M(58)	
Chicken liver	4.4×10^{-6} M (17)	5.69×10^{-6} M(38)		
Ehrlich ascite carcinoma	7.4×10^{-6} M (11)	1.5×10^{-6} M(11)		
Murine L1210 lymphoma		1×10^{-6} M (13)	1.2×10^{-6} M(13)	
MTX-resistant		0.30×10^{-6} M(45)	1.36×10^{-6} M(45)	

และ small intestine (25)

สาร antifolates ได้แก่ 2,4-diaminopteridines และ 2,4-diaminopyrimidines มีอิเล็กซ์ย์ม์ เป้าหมายที่สำคัญคือ dihydrofolate reductase สารพากนี้พบว่า ห้ามอย่างแรงต่อ อิเล็กซ์ย์ม์จากบัก เทรี (40) และ อิเล็กซ์ย์ม์จาก เมือ เยื่อของสัตว์ได้แก่ อิเล็กซ์ย์ม์ จาก chicken liver (38,41) mouse liver, kidney และ spleen (24,42) guinea pig liver และ small intestine (25) sheep liver (43) calf thymus (16) bovine liver (20,21) และ อิเล็กซ์ย์ม์จาก เซลล์มะเร็งได้แก่ human leukemic leukocytes (44) Ehrlich ascite carcinoma (11) และ L1210 murine leukemia (13,45) การศึกษาการห้ามของ methotrexate (MTX หรือ amethopterin) ต่อ อิเล็กซ์ย์ม์จากศับสนุพบว่า การห้ามของ MTX เป็นแบบ stoichiometric (42) หมายถึง ปฏิกิริยาการห้ามที่เกิดขึ้นโดยสารซึ่งสามารถจับได้แน่นมากกับ อิเล็กซ์ย์ม์ได้เป็น enzyme-inhibitor complex ซึ่งมีค่า dissociation constant น้อยมากและขณะที่สารละลายปฏิกิริยามีความเข้มข้นของ อิเล็กซ์ย์ม์อยู่ เป็นจำนวนมาก เมื่อ เทียบกับปริมาณของสารห้ามซึ่งมีไม่มาก พอที่จะทำให้ เกิดการห้าม อิเล็กซ์ย์ม์ได้ทั้งหมด โดยสารห้ามที่มีอยู่ในปฏิกิริยาจะอยู่ในรูปที่จับกับ อิเล็กซ์ย์ม์ทั้งหมด จากการศึกษาใน Ehrlich ascite cells (11) พบร่วงการห้ามของ MTX เป็นแบบ stoichiometric โดยมี folate หรือ dihydrofolate เป็น substrate ที่ pH 5.9 และยังพบร่วงการห้ามของ MTX จะจับกับ อิเล็กซ์ย์ม์ได้แน่นและห้ามได้แรงที่ pH 5.9 มากกว่าที่ pH 7.6 การห้ามของ อิเล็กซ์ย์ม์จะสามารถทำให้หายไปได้ เมื่อกำจัดสารห้ามคือ MTX ออกโดยวิธีการ dialysis ใน folic acid (42) อิเล็กซ์ย์ม์จะกลับทำงานได้ใหม่

การศึกษา dihydrofolate reductase ใน เชื้อบัก เทรีที่ด้านยา antifolate พบร่วงใน เชื้อที่ด้านยาจะมีระดับของ dihydrofolate reductase เพิ่มขึ้น เมื่อ เปรียบเทียบ กับ เชื้อเดิมที่ไวต่อยา ปรากฏการณ์เช่นนี้พบใน เชื้อบัก เทรีด้านยาทั้งชนิดได้แก่ S. faecium ที่ด้านยา pyrimethamine, chlorguanide triazine, trimethoprim และ amethopterin (MTX) พบร่วงการเพิ่มระดับ อิเล็กซ์ย์ม์ทั้ง dihydrofolate reductase และ thymidylate synthetase เพิ่มเป็น 2-40 เท่า (46) ใน เชื้อที่เป็น amethopterin-resistant strain ของ Diplococcus pneumoniae พบร่วงระดับของ dihydrofolate reductase สูงถึง 120 เท่าของ เชื้อ wild type (7) เชื้อของ amethopterin-resistant

mutant ของ E. coli พบมีระดับของ เอ็นซีย์ม์นีโอ yü่สูงกว่า เข็อที่ไวต่อยา (8) ปราการนี้ เช่น เดียวกันนี้พดได้ เช่นกันในเซลล์มะเร็งที่ต้านยาบางชนิดได้แก่ในเซลล์ mouse sarcoma 180 ชนิดที่เป็น amethopterin-resistant sublines พบว่าระดับของ dihydrofolate reductase เพิ่มขึ้นเมื่อเซลล์เพิ่มการต้านยา (32,33) ในเซลล์ของ mouse leukemia L1210 พบมีการเพิ่มระดับของ dihydrofolate reductase เมื่อเซลล์ต้านยา (34,35) ใน MTX-resistant subline ของ Ehrlich ascite carcinoma พบมีระดับเอ็นซีย์ม์ dihydrofolate reductase เพิ่มมากกว่าเป็น 14 เท่าของที่พบในเซลล์เดิมที่ไวต่อยา (31)

เอ็นซีย์ม์ dihydrofolate reductase ที่ศึกษาในเนื้อเยื่อต่าง ๆ ของสัตว์ทดลอง พบว่าอวัยวะที่มีเอ็นซีย์ม์สูงสุดในหมูตะเกา (guinea pig) ศือในตับและไต ในขณะที่ตรวจพบเอ็นซีย์ม์น้อยมากในไขกระดูก (bone marrow) ลำไส้เล็ก (small intestine) และม้าม (spleen) โดยวิธีเคราะห์เดียวกันไม่สามารถตรวจพบเอ็นซีย์ม์ในกล้ามเนื้อ (47) ในเซลล์สมองของกระด่ายและของหมูขาว (rat) พบมีเอ็นซีย์ม์น้อยในระดับต่ำมากสามารถวิเคราะห์ได้โดยวิธี radiochemical assay พบมีประมาณ 15% ของที่พบในตับ (48,49) ในเซลล์ leukocyte ตามปกติจะไม่สามารถตรวจพบ dihydrofolate reductase แต่สามารถตรวจพบเอ็นซีย์ม์นี้ได้ในคนไข้ acute leukemia (44) การศึกษาในเซลล์เนื้องอกของสมองทุกที่เห็นได้ที่เกิดมะเร็งโถกไวรัส avian sarcoma จะทำให้เซลล์มะเร็งของสมองมีระดับของ dihydrofolate reductase เพิ่มขึ้นถึง 6 เท่าของเอ็นซีย์ม์ที่พบในตับหมู (50) ซึ่งตามปกติเอ็นซีย์ม์นี้ในสมองหมูพบมีระดับสูงในช่วงอายุ 19 วันที่เป็นตัวอ่อนอยู่ในครรภ์ และจะค่อย ๆ ลดลงจนกระทั่งคลอดและจนถึงวันที่ 20 หลังจากคลอดจะมีอยู่ในระดับต่ำสุด ปราการนี้ เช่นนี้สามารถพดได้ เช่นเดียวกันเมื่อเห็นได้ในตับของ E.coli B ด้วยไวรัส T-even phage หรือ T5 พบมีเอ็นซีย์ม์ dihydrofolate reductase เพิ่มขึ้น (29) การศึกษาในเซลล์มะเร็งของสมองคนสามารถตรวจพบว่ามี dihydrofolate reductase (51) ทำให้เพิ่มความหวังของการใช้ยาต้านมะเร็ง MTX ในการรักษาและเร็งของสมองคนได้

การศึกษาในหมูตะเกาพบว่าหลังจากฉีดยาต้านมะเร็ง MTX ให้แก่สัตว์ทดลองแล้ว สามารถตรวจพบยา MTX สะสมอยู่ในตับและไตได้นานอย่างน้อยถึง 14 วัน แต่ไม่สามารถตรวจพบยาโดยวิธีเคราะห์เดียวกันในไขกระดูก ลำไส้เล็กและม้ามแม้จะรีเคราะห์อยู่นานจน

ถึงรันที่ 14 หลังให้ยา MTX ก็ตาม (47) ทำให้คาดว่า dihydrofolate reductase ในตับหรือไตของหมูจะเบา้มความไวต่อการห้ามของ MTX ได้มากกว่า เอ็นซิย์มจากกล้าise เล็กสิงทำให้การจับของยา MTX กับ เอ็นซิย์มในตับหรือไตจะได้แน่นกว่าและสะสมอยู่มาก เป็นเวลานานใน อวัยวะตับและไต แต่จากการศึกษาต่อมากพบว่า เอ็นซิย์มจากตับและลำไส้ เล็กของหมูจะเบา้มความไว พอกๆ กันในการยกห้ามด้วยยา MTX (25) โดยมีค่า 50% inhibition (I_{50}) เท่ากัน 3×10^{-5} M และ 2×10^{-5} M ตามลำดับ

ในการศึกษาครั้งนี้ปีจุประสงค์ เพื่อตรวจหาระดับของ เอ็นซิย์ม dihydrofolate reductase จากคนไข้โรคมะเร็งที่อวัยวะต่าง ๆ ที่พบมากในประเทศไทย ทั้งนี้เพื่อเป็นแนวทาง ของการใช้ยาต้านมะเร็ง MTX ในการรักษามะเร็งของอวัยวะต่าง ๆ ให้มีประสิทธิภาพที่สุด ป้องกันการเลี้ยงใช้ยาที่ไม่ได้ผลและ เพื่อหลัก เลี้ยงอาการพิษของยาที่อาจเกิดขึ้นแก่คนไข้มะเร็ง ด้วยการใช้ยาที่ไม่ได้ผลโดยไม่จำเป็น

วัสดุและวิธีวิจัย

1. สารเคมี

Bromine water, Lithium sulfate, Phosphoric acid, Sodium molybdate, Sodium tungstate, Copper sulfate, Sodium carbonate, Potassium dihydrogen phosphate, dipotassium hydrogen phosphate, Hydrochloric acid, Sodium hydroxide, Potassium hydroxide, 2-Mercaptoethanol, สารทั้งหมด เป็นชนิด extra pure grade จากบริษัท E. Merck Darmstadt, Geramany.

Folic acid, Protamine sulfate grade X, Reduced Nicotinamide Adenine Dinucleotide Phosphate (NADPH) type I, Trizma base Sigma chemical Company, St. Louis, U.S.A.

Sodium dithionite, Potassium chloride, Ethylene diamine tetracetate (EDTA) ทั้งหมด เป็นชนิด laboratory reagent grade จากบริษัท May and Baker Ltd. Dagenham, England

Sodium acetate เป็นชนิด reagent grade จากบริษัท Hopkin and Williams Methotrexate (MTX) เป็นชนิด laboratory chemical จาก Ben Venue Laboratories, Inc., Bedford, Ohio, U.S.A.

Sodium-potassium tartrate เป็นชนิด reagent grade จากบริษัท Fluka-Garantie, Buchs, Switzerland

2. เครื่องมือ

2.1 Spectrophotometer model UV. 240 ของบริษัท Shimadzu, Japan

2.2 Polytron Kinematica GmbH, Switzerland

2.3 Rifrigerated centrifuge, Hitach, Japan

3. น้ำยาทดลอง

3.1 0.1 M Potassium phosphate buffer pH 6.8 ปี 0.1 mM EDTA

ละลายน้ำยา EDTA 37.224 มก. ลงในสารละลายน้ำมันของ 1 M KH_2PO_4
51 มล. และ 1 M K_2HPO_4 49 มล. ผสมให้เข้ากัน ปรับปริมาตรรวมครบ 1 ลิตร ปรับ
pH 6.8 ด้วย 1 M KOH หรือ 1 M phosphoric acid

3.2 0.1 M Sodium acetate buffer pH 5.9

ละลายน้ำยา sodium acetate 8.204 กรัม ในน้ำมันสีน้ำเงิน ปรับปริมาตรรวมครบ
1 ลิตร ปรับ pH 5.9 ด้วย 1 M acetic acid

3.3 3.6 M Potassium chloride

ละลายน้ำยา potassium chloride 26.83 กรัมในน้ำมันสีน้ำเงิน ปรับปริมาตรรวม
ครบ 100 มล.

3.4 0.05 M Tris-HCl buffer pH 7.3

ละลายน้ำยา Trizma base 6.055 กรัมในน้ำมันสีน้ำเงิน ปรับปริมาตรรวมครบ 1 ลิตร
ปรับ pH 7.3 ด้วย 0.1 M HCl

3.5 1 M 2-mercaptoethanol

เติมน้ำยา 2-mercaptoethanol 7 มล. ลงในน้ำมันสีน้ำเงินปรับปริมาตรรวมครบ
100 มล.

3.6 3 mM NADPH

ละลายน้ำยา NADPH 3 มก. ในสารละลายน้ำมันสีน้ำเงิน 4°ซึ่งของ 0.05 M Tris-HCl
buffer pH 7.3 1มล. เตรียมใช้ภายใน 1วัน

3.7 Dihydrofolate (DHF) substrate

สารละลายน้ำ dihydrofolate เทเรียมจาก folic acid ตามวิธีของ Friedkin et al (52) ซึ่งตัดแปลงจากวิธีของ Futterman (53) รัดความเข้มข้นของสารละลายน้ำ dihydrofolate โดยใช้ค่า E. (340 nm) = $6,500 M^{-1} cm^{-1}$ (49)

3.8 Methotrexate (MTX) inhibitor

เตรียมสารละลายน้ำ MTX โดยละลายน้ำ 0.01363 กรัม MTX ใน 1-2 หยด 1 N NaOH เติมน้ำจันครับปริมาตร 100 มล. รัดความเข้มข้นของสารละลายน้ำ MTX โดยใช้ค่า E (257 nm) = $23,150 M^{-1} cm^{-1}$ (8)

4. วิธีวิธี

4.1 การเก็บตัวอย่าง ตัวอย่างเนื้อเยื่อปอกติดได้รับความกรุณาจากแผนกนิติเวช รพ. ตำรวจ เป็นเนื้อเยื่อที่ได้จากการชันสูตรศพผู้ตายทันทีด้วยอุบัติเหตุภายใน 1 ชั่วโมง โดยตัดเนื้อเยื่อเก็บแข็งที่ $-20^{\circ}C$ ทันทีจนกว่าจะน้ำมาหดลง

ตัวอย่างเนื้อเยื่อมะเร็งได้รับความอนุเคราะห์จากแผนกศัลยศาสตร์ รพ. จุฬาลงกรณ์ และ รพ. ตำรวจ โดยเก็บเนื้อที่ตัดทิ้งจากคนไข้โรมะเร็ง นำเนื้อเยื่อแข็งที่ $-20^{\circ}C$ ทันทีที่ตัดออกจากร่างกายคนไข้ จนถึงเวลาสำหรับหดลง

4.2 การเตรียมเอ็นซีพี นำเนื้อเยื่อที่ต้องการหดลงของมาทิ้งไว้ในน้ำแข็งจนเนื้อเยื่ออ่อนตัวลงจึงนำมาซึ่งน้ำหนักและบดละเอียดในสารละลายน้ำ 0.1 M potassium phosphate buffer pH 6.8 ที่มี 0.1 mM EDTA โดยใช้สารละลายน้ำฟเฟอร์ปริมาตร 2 เท่าของน้ำหนักเนื้อเยื่อ บดเนื้อเยื่อให้เซลล์แตกด้วยเครื่อง homogenizer (Polytron Kinematica GnbH, Switzerland) นาน 1 นาทีด้วยแรงหมุน 6,000 รอบ/นาทีโดยใช้ช่วงเวลาบดช่วงละ 30 วินาที ในภาชนะแข็งน้ำแข็ง ตกละกอนเนื้อเยื่อที่บดละเอียดแล้วใน refrigerated centrifuge ที่ 36,000 xg นาน 30 นาที นำสารละลายน้ำมาทำให้เป็นสูตรด้วยการตอกตะกอนกรดニวคลีอิกและโปรตีนขนาดใหญ่ออกด้วย 2% protamine sulfate ปริมาตร 0.2 เท่า ของสารสกัด กวนให้เข้ากันเบา ๆ นาน 20 นาที เมื่อตอกตะกอน

จนสมบูรณ์แล้วนำสารแขวนตะกรอนไปปั่น เออาทะกรอนออกใน refrigerated centrifuge ที่ 36,000 xg นาน 10 นาที นำสารละลายใส่ของสารสะกัด เอ็นซียม์มาศึกษาคุณสมบัติของเอ็นซียม์ ความเข้มข้นของโปรตีนที่สะกัดจากเนื้อ เยื่อวิเคราะห์โดยวิธีของ Lowry et al (54)

4.3 วิธีทดสอบมรรคนะของเอ็นซียม์ (Enzyme Assay) ในสารละลายของปฏิกิริยาปริมาณตร 3 มล. ประกอบด้วย 0.1 M Sodium acetate buffer pH 5.9, 0.6 M KCl, 33 μM dihydrofolate, 50 μM NADPH และ เอ็นซียม์ 200 μl เริ่มปฏิกิริยาด้วยการเติม เอ็นซียม์ รด enzyme activity โดยวัดการลดค่า absorbance ที่ 340 nm เมื่อ NADPH รีดิวช์ dihydrofolate ได้เป็น tetrahydrofolate และ NADP (55) โดยใช้เครื่อง Spectrophotometer (Shimadzu, model UV 240) รดปฏิกิริยาที่ 37° โดยใช้ค่า molar extinction coefficient $12,300 \text{ M}^{-1} \text{ cm}^{-1}$ ที่ 340 nm ในการคำนวณ activity ของเอ็นซียม์ (56) ค่า 1 Unit activity ของเอ็นซียม์เท่ากับปริมาณเอ็นซียม์ที่รีดิวช์ 1 nmole สบส เตρη / นาที ภายใต้สภาวะการวิเคราะห์มาตรฐานนี้

4.4 การวิเคราะห์โดย Methotrexate Titration (Methotrexate Titration Assay) การ titration ของ dihydrofolate reductase ด้วย methotrexate (MTX) ซึ่ง เป็นสารห้าม เอ็นซียม์ที่สามารถจับได้แน่นที่โน้ต เลกุลของเอ็นซีย์โดย 1 โน้ต เลกุลของ MTX จะจับกับ 1 โน้ต เลกุลของ เอ็นซีย์ทำให้สามารถวัดปริมาณความเข้มข้นของเอ็นซีย์ที่สมมูลย์กับความเข้มข้นของ MTX (11,27) การวิเคราะห์ทำโดย tritrate เอ็นซีย์ด้วย MTX ในช่วงความเข้มข้นตั้งแต่ $0-2 \times 10^{-12} \text{ M}$ โดยในสารละลายปฏิกิริยา 3 มล. ประกอบด้วย 0.1 M sodium acetate buffer (pH 5.9), 0.6 M KCl 50 μM NADPH เอ็นซียม์ 200 μl อุ่นสารละลายปฏิกิริยาที่มีเอ็นซีย์กับ MTX ที่ 37° นาน 3 นาที และจึงเริ่มปฏิกิริยาโดยการเติม dihydrofolate ลงในสารละลายปฏิกิริยาจนได้ความเข้มข้น 33 μM dihydrofolate ค่าที่ลดลงของเอ็นซีย์ activity เมื่อเพิ่ม MTX นำมาหาความเข้มข้นของ เอ็นซีย์ที่สมมูลย์กับ MTX เมื่อปฏิกิริยาถูกห้ามโดยสมบูรณ์ (27)

ผลการทดลอง

1. สมรรถนะของเอ็นไซม์ dihydrofolate reductase ในเนื้อเยื่อมะเร็ง

การทดสอบสมรรถนะของเอ็นไซม์ dihydrofolate reductase ในเนื้อเยื่อมะเร็งของคนชนิดต่าง ๆ เปรียบเทียบกับเนื้อเยื่อปกติชนิดเดียวกัน ตารางที่ 3 แสดง activity ของ dihydrofolate reductase ของเนื้อเยื่อมะเร็งจากผนังทวาร (rectum) เปรียบเทียบกับเนื้อเยื่อปกติ พบร้าเนื้อเยื่อมะเร็งของผนังทวารมี activity ของ dihydrofolate reductase ในขณะที่เนื้อเยื่อผนังทวารปกติไม่สามารถตรวจพบ ตารางที่ 4 แสดง activity ของ dihydrofolate reductase จากเนื้อเยื่อมะเร็งของลำไส้ใหญ่ (colon) พบร้ามี enzyme activity ตรวจพบได้ในขณะที่เนื้อเยื่อลำไส้ใหญ่ปกติจำนวน 3 ตัวอย่าง ไม่สามารถตรวจพบ เอ็นไซม์ ตารางที่ 5 แสดง activity ของเอนไซม์ที่ตรวจพบในเนื้อเยื่อมะเร็งของกระเพาะ (stomach) เปรียบเทียบกับตัวอย่างเนื้อเยื่อปกติ 7 ตัวอย่างไม่พบเอนไซม์ใน 6 ตัวอย่าง ส่วนอีก 1 ตัวอย่างพบมี enzyme activity ซึ่งมีปริมาณที่ต่ำกว่าในเนื้อเยื่อมะเร็ง ตารางที่ 6 แสดง activity ของ dihydrofolate reductase ในเนื้อเยื่อมะเร็งของไต (kidney) ในขณะที่เนื้อเยื่อปกติจำนวน 3 ตัวอย่างไม่สามารถตรวจพบ เอ็นไซม์ ตารางที่ 7 แสดง activity ของ dihydrofolate reductase ในเนื้อเยื่อมะเร็งของปอด (lung) เปรียบเทียบ เนื้อเยื่อของปอดปกติ 3 ตัวอย่าง มี 1 ตัวอย่างที่พบว่ามี dihydrofolate reductase activity ในปริมาณที่ต่ำกว่าเนื้อเยื่อมะเร็งและอีก 2 ตัวอย่างตรวจไม่พบ เอ็นไซม์ ตารางที่ 8 แสดง dihydrofolate reductase activity ในเนื้อเยื่อมะเร็งของเต้านม (breast) มี enzyme activity ตรวจพบได้ จากตัวอย่าง 6 ตัวอย่างในขณะที่เนื้อเยื่อปกติ 2 ตัวอย่าง ไม่สามารถตรวจพบ activity ของ dihydrofolate reductase โดยวิธีการทดลองนี้

2. การหาปริมาณเอนไซม์โดยวิธี methotrexate titration

สารละลายน้ำมีปฏิกิริยาของเอนไซม์ dihydrofolate reductase กับ methotrexate ในความเข้มข้นระดับต่าง ๆ กัน ดังที่กำหนดไว้ ผลให้ทำปฏิกิริยานาน 3 นาที แล้วจึงเริ่ม

ตารางที่ 3

เปรียบเทียบ dihydrofolate reductase activity ในเนื้อเยื่อมะเร็งและเนื้อเยื่อปกติของผนังทวาร

19

ORGAN	DIAGNOSIS	Sample No.	Protein conc. (mg/ml)	DHFR ACTIVITY		
				Activity/ml (n mole/min/ml)	Specific Activity (n mole/min/mg protein)	Activity/g. tissue (n mole/min/g. tissue)
RECTUM	CA ^a	1	10.08	7.30	0.724	18.285
	CA	2	9.24	3.70	0.400	8.768
	CA	3	12.50	1.60	0.128	3.986
	N ^b	1	7.42	0	0	0
	N	2	7.04	0	0	0
	N	3	9.35	0	0	0
	N	4	11.00	0	0	0
	N	5	9.00	0	0	0
	N	6	11.00	0	0	0
	N	7	15.25	0	0	0

a CA = CARCINOMA

b N = NORMAL TISSUE

ตารางที่ 4

เปรียบเทียบ dihydrofolate reductase activity ในเนื้อเยื่อมะเร็งและเนื้อเยื่อปกติของลำไส้ใหญ่

ORGAN	DIAGNOSIS	Sample No.	Protein conc. (mg/ml)	DHFR ACTIVITY		
				Activity/ml (n mole/min/ml)	Specific Activity (n mole/min/mg protein)	Activity/g. tissue (n mole/min/g. tissue)
COLON	CA ^a	1	8.25	7.32	0.89	23.340
	N ^b	1	15.00	0	0	0
	N	2	9.25	0	0	0
	N	3	10.00	0	0	0

a CA = CARCINOMA

b N = NORMAL TISSUE

ตารางที่ 5

เปรียบเทียบ dihydrofolate reductase activity ในเนื้อเยื่อมะเร็งและเนื้อเยื่อปกติของกระเพาะ

ORGAN	DIAGNOSIS	Sample No.	Protein conc. (mg/ml)	DHFR ACTIVITY		
				Activity/ml (n mole/min/ml)	Specific Activity (n mole/min/mg protein)	Activity/g. tissue (n mole/min/g. tissue)
STOMACH	CA ^a	1	17.83	4.00	0.224	7.292
	CA	2	21.78	3.60	0.165	5.195
	N ^b	1	22.50	0	0	0
	N	2	22.50	0	0	0
	N	3	18.00	0	0	0
	N	4	23.51	0	0	0
	N	5	12.03	0	0	0
	N	6	9.56	0	0	0
	N	7	10.34	1.30	0.126	2.694

a CA = CARCINOMA

b N = NORMAL TISSUE

ตารางที่ 6

เปรียบเทียบ dihydrofolate reductase activity ในเนื้อเยื่อมะเร็งและเนื้อเยื่อปกติของไต

ORGAN	DIAGNOSIS	Sample No.	Protein conc. (mg/ml)	DHFR ACTIVITY		
				Activity/ml (n mole/min/ml)	Specific Activity (n mole/min/mg protein)	Activity/g. tissue (n mole/min/g. tissue)
KIDNEY	CA ^a	1	11.00	20.37	1.850	46.964
	N ^b	1	24.00	0	0	0
	N	2	30.00	0	0	0
	N	3	26.00	0	0	0

a CA = CARCINOMA

b. N = NORMAL TISSUE

ตารางที่ 7

เปรียบเทียบ dihydrofolate reductase activity ในเนื้อเยื่อมะเร็งและเนื้อเยื่อปกติของปอด

ORGAN	DIAGNOSIS	Sample No.	Protein conc. (mg/ml)	DHFR ACTIVITY		
				Activity/ml (n mole/min/ml)	Specific Activity (n mole/min/mg protein)	Activity/g. tissue (n mole/min/g. tissue)
LUNG	CA ^a	1	12.25	5.73	0.468	7.350
	N ^b	1	13.0	0	0	0
	N	2	12.25	0	0	0
	N	3	14.0	2.10	0.148	4.270

a CA = CARCINOMA

b N = NORMAL TISSUE

ตารางที่ 8

เปรียบเทียบ dihydrofolate reductase activity ในเนื้อเยื่อบุผู้ป่วยและเนื้อเยื่อปกติของเด็กน้ำ

ORGAN	DIAGNOSIS	Sample No.	Protein conc. (mg/ml)	DHFR ACTIVITY		
				Activity/ml (n mole/min/ml)	Specific Activity (n mole/min/mg protein)	Activity/g. tissue (n mole/min/g. tissue)
BREAST	CA ^a	1	11.00	5.73	0.521	9.508
	TUMOR	2	10.50	6.95	0.662	8.980
	CA	3	9.00	3.66	0.407	7.978
	CA	4	10.00	2.80	0.280	6.689
	CA	5	7.25	3.05	0.421	6.395
	CA	6	13.50	3.48	0.257	6.179
	N ^b	1	17.50	0	0	0
	N	2	13.00	0	0	0

a CA = CARCINOMA

b N = NORMAL TISSUE

ปฏิกิริยาการทำงานของ เอ็นซีย์โดย เดิม substrate ศิอ dihydrofolate และรดบปฏิกิริยา ที่ได้จากการทดลองพบว่า การห้ามของ methotrexate ต่อ เอ็นซีย์ dihydrofolate reductase ที่เกิดขึ้น เป็นแบบ stoichiometric inhibition (42) โดย 1 มोเลกุล ของ เอ็นซีย์มี 1 binding site ของ methotrexate เมื่อเขียนกราฟระหว่าง activity กับความ เข้มข้นของ inhibitor ศิอ methotrexate จะได้กราฟเส้นตรงดังที่ได้แสดงไว้ใน รูปที่ 2 แสดงการห้ามของ methotrexate ต่อ dihydrofolate reductase จากเนื้อเยื่อ มะเร็งของໄต ใช้ความ เข้มข้นสูงสุดที่ห้าม เอ็นซีย์ เท่ากับ $1.935 \times 10^{-11} M$ เป็นความ เข้มข้นคงที่มาให้ทำปฏิกิริยาโดยเพิ่มความ เข้มข้นของ เอ็นซีย์ขึ้น เรื่อย ๆ ดังที่กำหนดไว้ นำ activity ของ เอ็นซีย์ที่ เพิ่มขึ้นมา เขียนกราฟต่อความ เข้มข้นของ เอ็นซีย์ที่ เพิ่มขึ้นจะได้กราฟเส้นตรงดัง ที่แสดงไว้ใน รูปที่ 3 จุดศักดิ์กลืนแน่นอนมีค่า เท่ากับ $106.7 \mu l$ ของ เอ็นซีย์ที่สมมูลย์กับ MTX $1.935 \times 10^{-11} M$ เมื่อนำมาคำนวณพบว่ามีปริมาณ เอ็นซีย์ เท่ากับ $5.09 \times 10^{-14} \text{ mole/mg protein}$ หรือ เท่ากับ $1.29 \times 10^{-12} \text{ mole/g tissue}$

จากรูปที่ 4 แสดงกราฟ methotrexate titration ของ เอ็นซีย์ dihydrofolate reductase จาก เนื้อเยื่อมะเร็งของกระเพาะ แสดงการห้าม เอ็นซีย์ เป็นแบบ stoichiometric inhibition ได้กราฟเส้นตรง ใช้ความ เข้มข้นของ methotrexate เท่ากับ $12.0 \times 10^{-12} M$ เป็นความ เข้มข้นคงที่มาทำปฏิกิริยา กับ เอ็นซีย์ที่ เพิ่มความ เข้มข้นขึ้น เรื่อย ๆ นำค่า activity ที่เพิ่มขึ้นมา เขียนกราฟกับค่าความ เข้มข้นของ เอ็นซีย์ที่ เพิ่มขึ้น พบร่วมกับได้กราฟเส้นตรงดังที่ได้แสดงไว้ใน รูปที่ 5 ที่จุดศักดิ์กลืนแน่นอน เท่ากับ $160 \mu l$ เป็นปริมาณของ เอ็นซีย์ ที่สมมูลย์กับ $12.0 \times 10^{-12} M$ methotrexate เมื่อคำนวณปริมาณของ เอ็นซีย์จาก เนื้อเยื่อ มะเร็งของกระเพาะจะได้ เท่ากับ $1.07 \times 10^{-14} \text{ mole/mg protein}$ หรือ เท่ากับ $3.34 \times 10^{-13} \text{ mole/g tissue}$

จากการทดลองโดย เปรียบเทียบ dihydrofolate reductase จากตับหมู พบร่วมกับ การห้ามของ methotrexate ต่อ dihydrofolate เป็นแบบ stoichiometric inhibition เข่นเดียว กับ เมื่อเขียนกราฟระหว่าง activity กับความ เข้มข้นของ methotrexate จะได้ กราฟเส้นตรงในช่วงความ เข้มข้นต่ำ ๆ ของ methotrexate ซึ่ง inhibitor ทั้งหมดจะ อยู่ร่วม เอ็นซีย์ ดังได้แสดงไว้ใน รูปที่ 6 ค่าความ เข้มข้นสูงสุดของ methotrexate $6.65 \times 10^{-10} M$ ใช้เป็นความ เข้มข้นคงที่ของ inhibitor มาทำปฏิกิริยาโดยเพิ่มความ

รูปที่ 2 การห้ามของ dihydrofolate reductase จากเนื้อเยื่อมะเร็งของไก่เมื่อเพิ่มความเข้มข้นของ methotrexate เอ็นซีย์ (4 units) titrate กับ methotrexate ที่เพิ่มความเข้มข้นขึ้นตามลำดับ

$\Delta A_{340}/\text{min}$

20

16

12

8

4

0

0.45

0.9

1.35

1.8

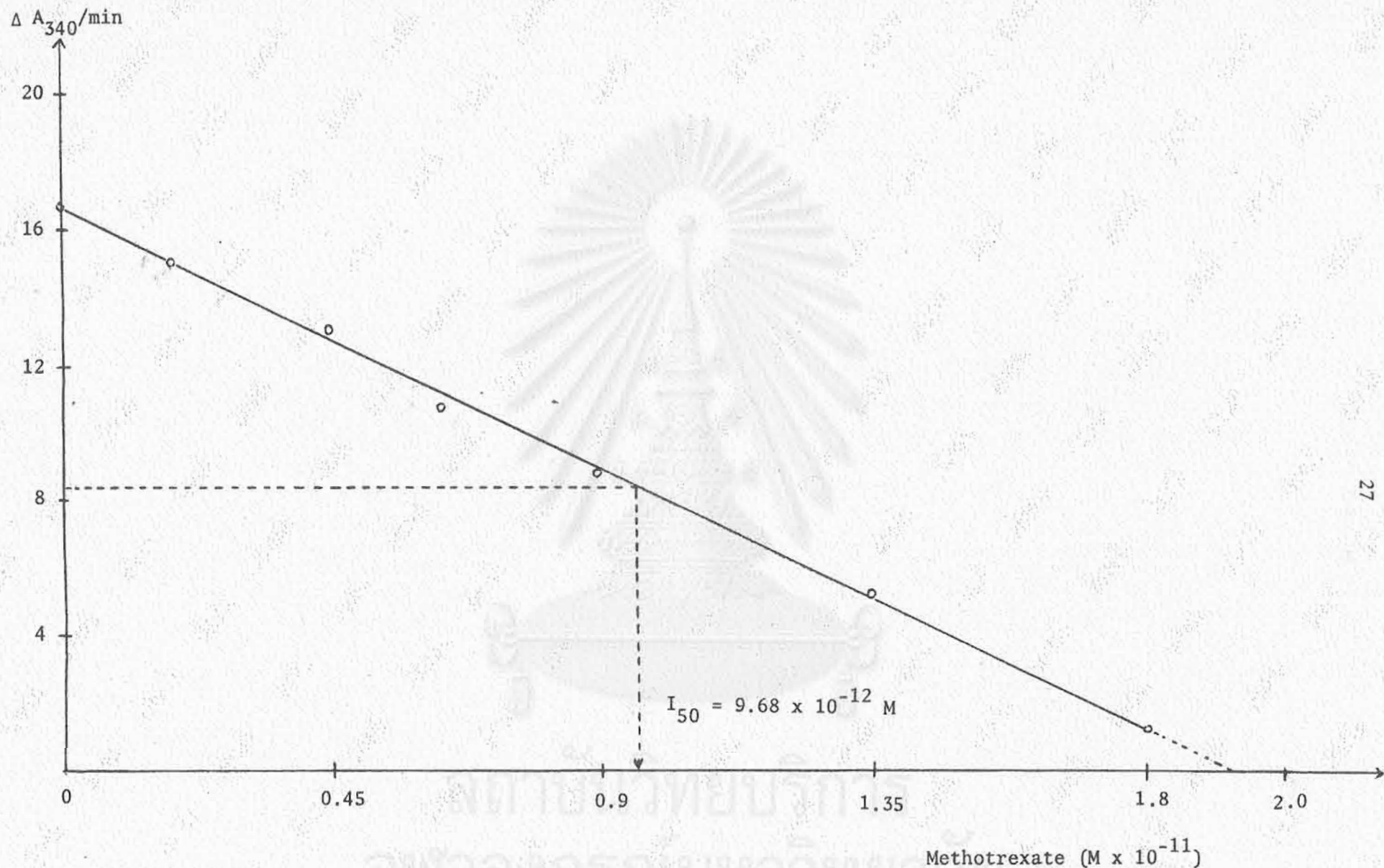
2.0

Methotrexate ($M \times 10^{-11}$)

JUL 2

$$I_{50} = 9.68 \times 10^{-12} M$$

27



รูปที่ 3 ผลของ methotrexate 1.935×10^{-11} M ต่อ activity ของ dihydrofolate reductase (荻)
ที่จุดตัดบนแกนนอนเท่ากับปริมาณของ เอ็นซียม 106.7 μl (activity 20.37 nmole/min/ml) ซึ่งสมมูลกับ
methotrexate

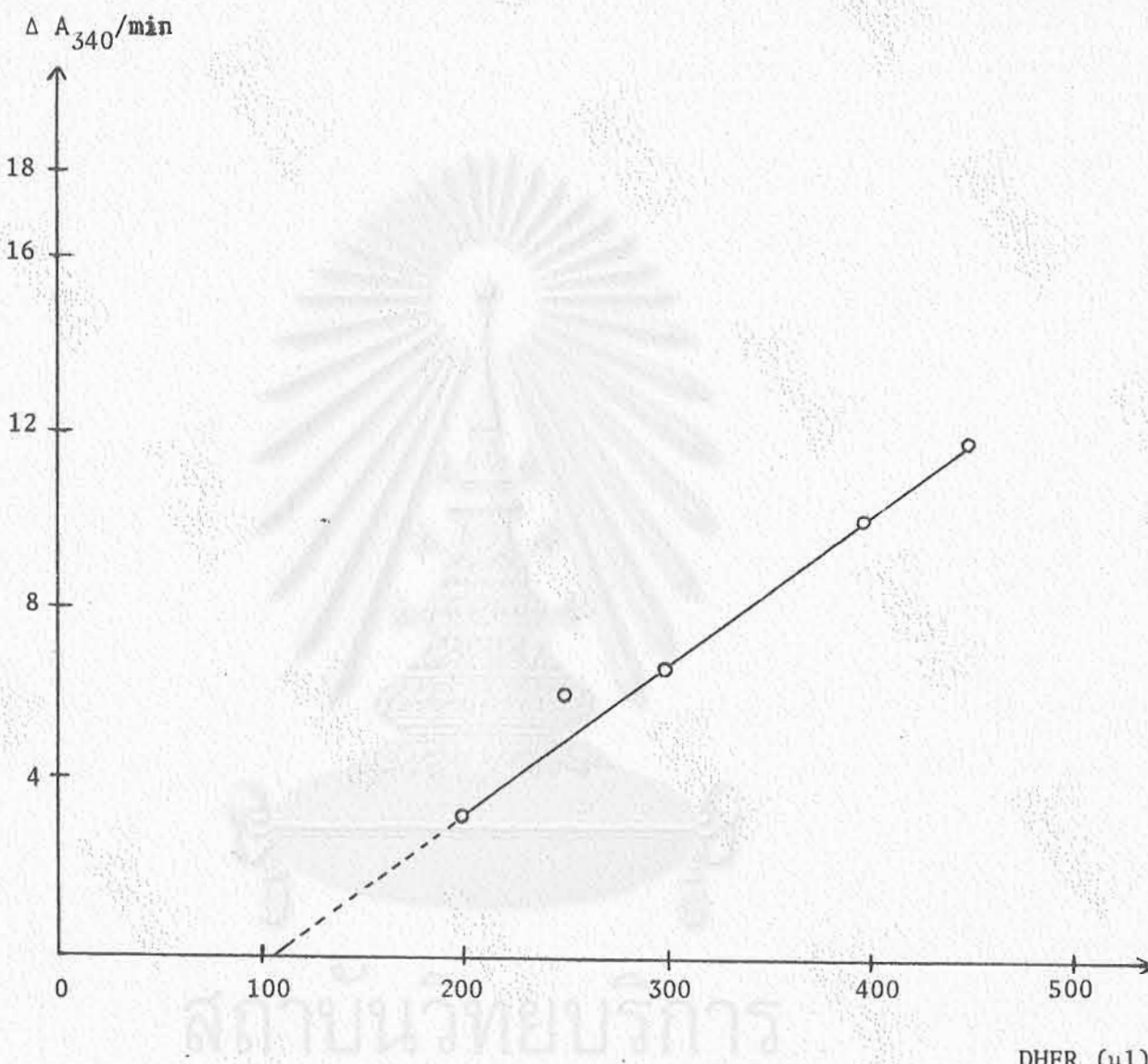


Fig. 3

รูปที่ 4 การห้ามของ dihydrofolate reductase จากเนื้อเยื่อบรัง呼งกระเพาะ เมื่อเพิ่มความเข้มข้นของ methotrexate เอ็นซีม (0.72 unit) titrate กับ methotrexate ในความเข้มข้นเพิ่มขึ้นตามลำดับ

Activity (nmole/min/ml)

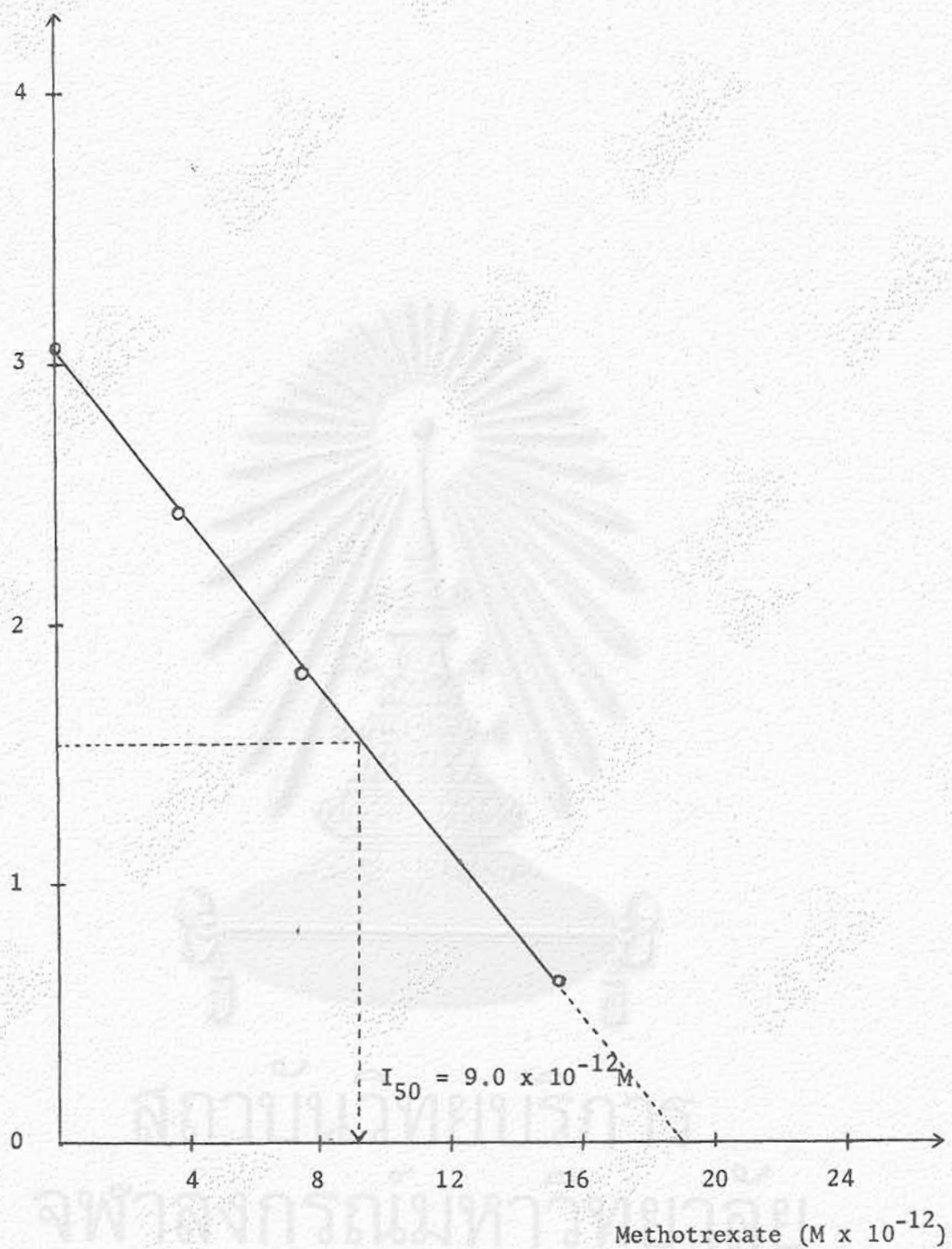
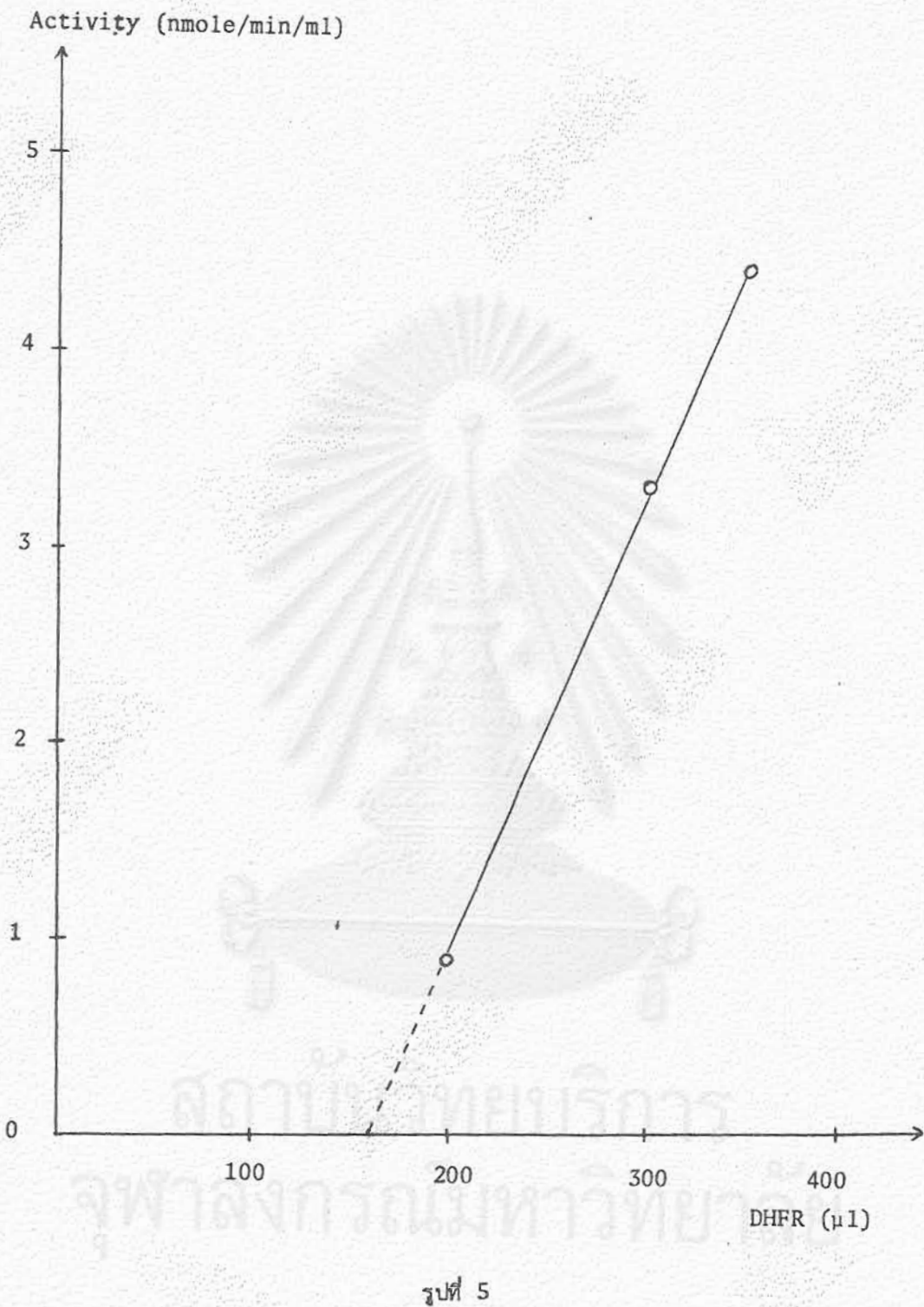
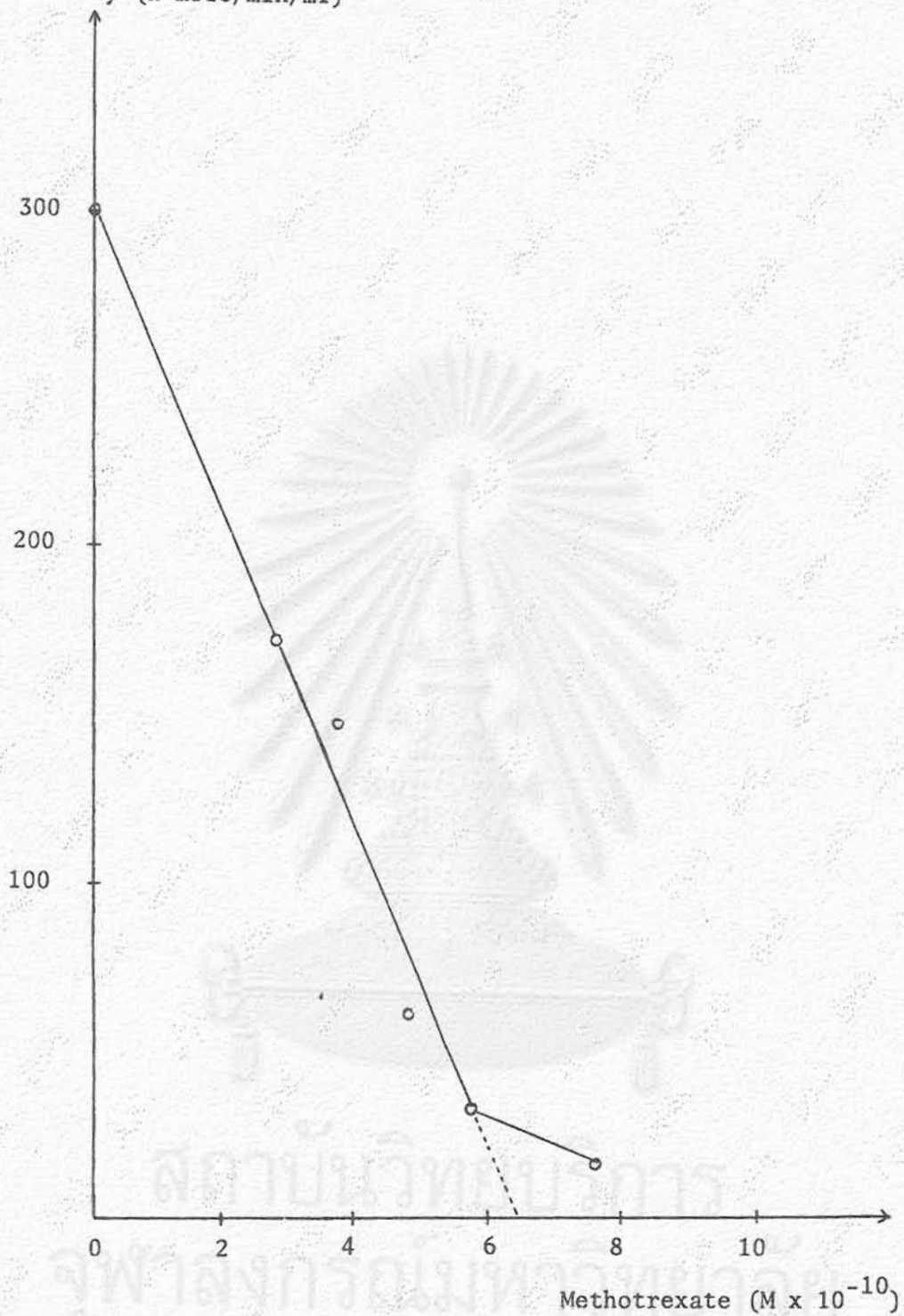


Fig. 4

รูปที่ 5 ผลของ methotrexate (12×10^{-12} M) ต่อ activity ของ dihydro-folate reductase ที่จุดตัดบนแกนนอนเท่ากับปริมาณ เอ็นซีย์ 160 μl (activity 3.6 nmole/min/ml) จากการเพาะเชื้อสมมูลย์กับ methotrexate



รูปที่ 6 การห้าม dihydrofolate reductase จากเนื้อเยื่อตับหมู เมื่อเพิ่มความเข้มข้นของ methotrexate เอ็นซีม (8.28 units) titrate กับ methotrexate ในความเข้มข้นเพิ่มขึ้นตามลำดับ



รูปที่ 6

รูปที่ 7 ผลของ methotrexate ($6.65 \times 10^{-10} M$) ต่อ activity ของ dihydrofolate reductase ที่จุดตัดบนแกนนอน เท่ากับปริมาณของ เอ็นซีย์ 27.5 μl (activity 301 nmole/min/ml) จากตัวหนูซึ่งสมนูญกับ methotrexate

Activity (n mole/min/ml)

37

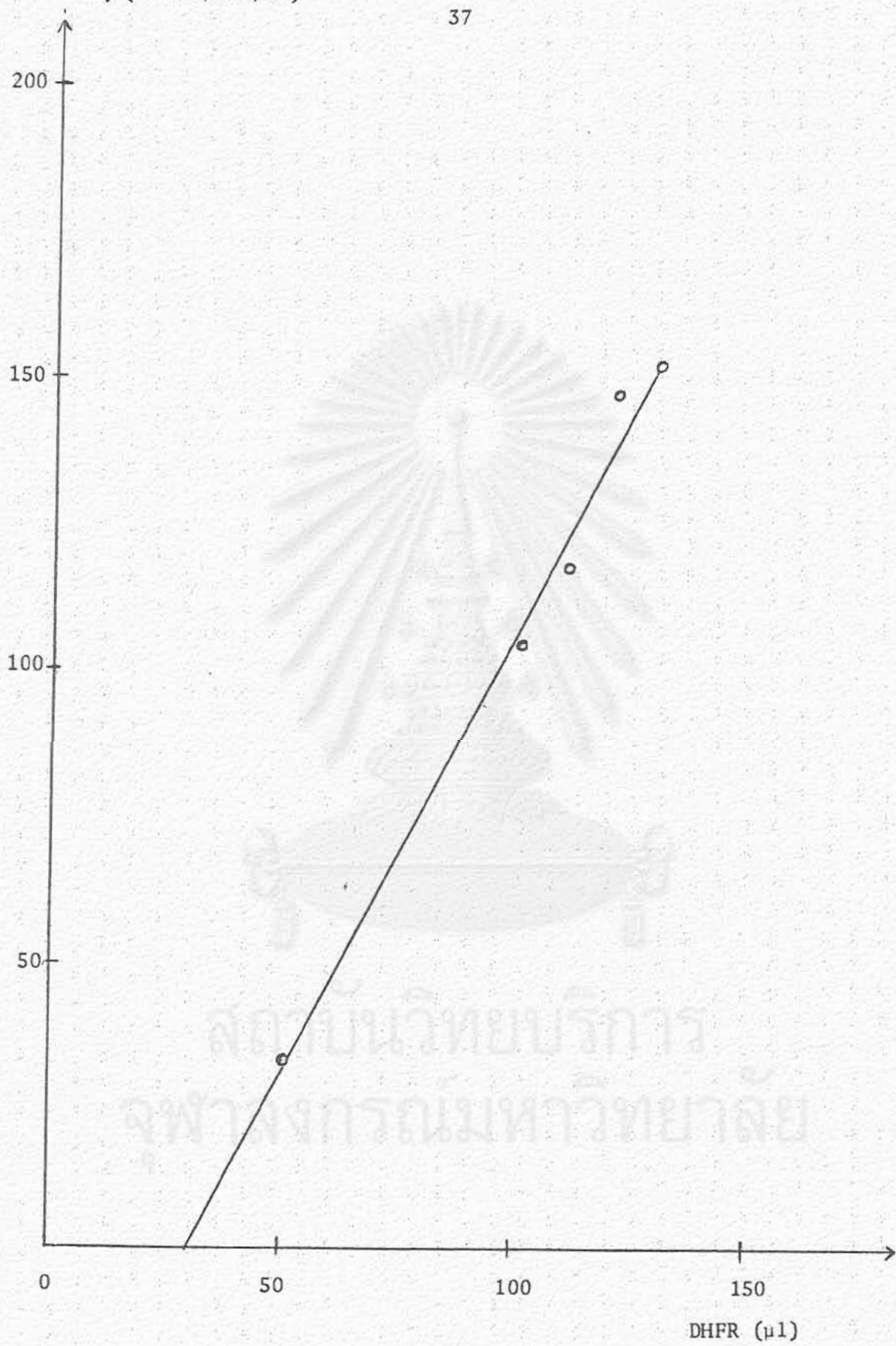


Fig 7

เข้มข้นของ เอ็นซีม์^{*} ที่สูงสุด คือ activity กับความเข้มข้นของ เอ็นซีม์ แสดงไว้ในรูปที่ 7 ซึ่งได้กราฟเส้นตรงมีจุดตัดบนแกนนอนที่ปริมาณเอ็นซีม์เท่ากับ $27.5 \mu\text{l}$ สมมูลย์กับ $6.65 \times 10^{-10} \text{ M}$ methotrexate เมื่อคำนวณปริมาณเอ็นซีม์ dihydrofolate reductase จากตัวหนูจะได้เท่ากับ $9.10 \times 10^{-13} \text{ mole/mg protein}$ หรือเท่ากับ $1.06 \times 10^{-10} \text{ mole/g tissue}$

การหาปริมาณและ activity ของ เอ็นซีม์ dihydrofolate reductase ของเนื้อเยื่อมะเร็งของไถและกระเพาะโดยวิธี MTX titration และวิธี spectrophotometry ตามลำดับ แสดงไว้ในตารางที่ 9

3. การศึกษา methotrexate inhibition ของ dihydrofolate reductase จากเนื้อเยื่อมะเร็งของไถและกระเพาะคน

การห้ามของสารต้าน เอ็นซีม์ methotrexate ซึ่งสามารถจับได้แน่นกับโนมเลกุลของ เอ็นซีม์ dihydrofolate reductase พบร้าเกิดขึ้นในแบบที่เรียกว่า stoichiometric inhibition เมื่อเพิ่มความเข้มข้นของ methotrexate จะได้ค่า activity ของเอ็นซีม์ลดลง สามารถเขียนกราฟระหว่าง activity ของ เอ็นซีม์ กับความเข้มข้นของ methotrexate ที่เพิ่มขึ้นได้กราฟเส้นตรงดังแสดงไว้ในรูปที่ 2,4 และ 8 ซึ่งเป็นการห้ามของ methotrexate ต่อ เอ็นซีม์ dihydrofolate reductase จากเนื้อเยื่อมะเร็งของไถ มะเร็งของกระเพาะ และเนื้อเยื่อตับหนู ตามลำดับ ความเข้มข้นของ methotrexate ที่สามารถห้าม 50% ของ activity ของ เอ็นซีม์ (I_{50}) มีค่าเท่ากับ $9.68 \times 10^{-12} \text{ M}$ เมื่อใช้เอ็นซีม์จากเนื้อเยื่อ มะเร็งของไถ 4 units I_{50} มีค่าเท่ากับ $9.00 \times 10^{-12} \text{ M}$ เมื่อใช้เอ็นซีม์จากเนื้อเยื่อมะเร็งของกระเพาะ 0.72 unit และมีค่าเท่ากับ $7.13 \times 10^{-10} \text{ M}$ เมื่อใช้เอ็นซีม์จากตับหนู 4 units ตามลำดับ

ค่า I_{50} ของ methotrexate ที่ห้าม เอ็นซีม์ dihydrofolate reductase จากเนื้อเยื่อมะเร็งของไถและมะเร็งของกระเพาะคน เปรียบเทียบกับ เอ็นซีม์จากเนื้อเยื่อตับหนูได้ แสดงไว้ในตารางที่ 10

ตารางที่ 9

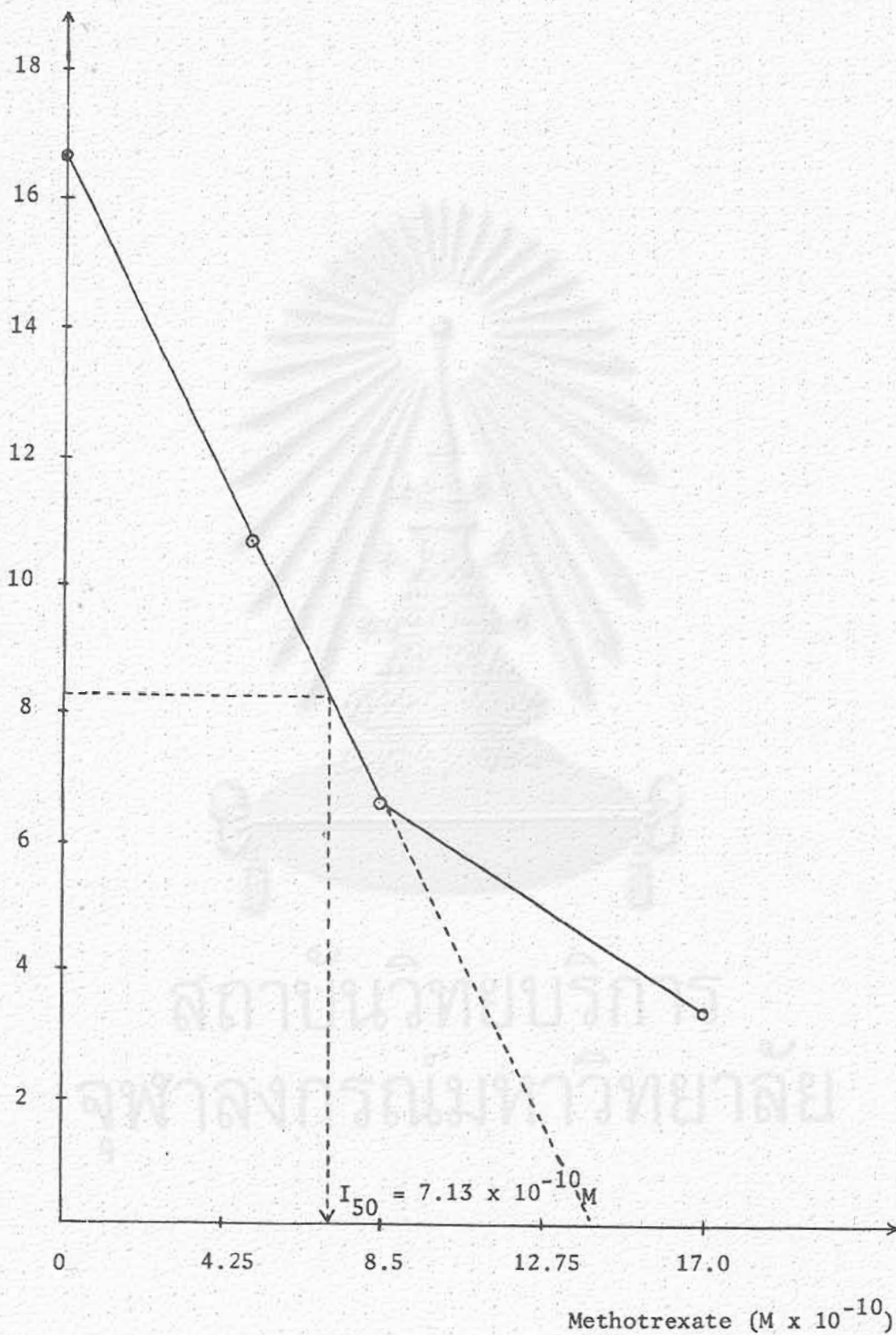
ปริมาณและ activity ของ dihydrofolate reductase ในเนื้อเยื่อมะเร็งและในตับหมู

TISSUE	Dihydrofolate Reductase				Turnover number mole/min/ mole of enzyme	
	MTX titration assay		Spectrophotometric assay			
	mole/g. tissue	mole/ mg. protein	mole/min/ g. tissue	mole/min/ mg protein		
Kidney (CA)	1.29×10^{-12}	5.09×10^{-14}	4.70×10^{-8}	1.85×10^{-9}	36,345	
Stomach (CA)	3.34×10^{-13}	1.07×10^{-14}	5.19×10^{-9}	1.65×10^{-10}	15,421	
Rat liver	1.06×10^{-10}	9.10×10^{-13}	5.48×10^{-7}	4.69×10^{-9}	5,154	

CA = CARCINOMA

รูปที่ 8 การห้ามของ dihydrofolate reductase จากเนื้อเยื่อตับหมู เมื่อเพิ่มความเข้มข้นของ methotrexate เอ็นซิม (4 units) titrate กับ methotrexate ในความเข้มข้นเพิ่มขึ้นตามลำดับ activity ของเอ็นซิมลดลง 50% (I_{50}) ที่ความเข้มข้นของ methotrexate เท่ากับ $7.13 \times 10^{-10} M$

Activity (nmole/min/ml)



ตารางที่ 10 เปรียบเทียบความเข้มข้นของ methotrexate ที่ทำ 50% ของเอ็นซิม
ไกชยโครฟเลทรีดก เกลในเนื้อเยื่อมะเร็งและในศีรษะ

TISSUE	MTX required for 50% inhibition (I_{50})
Kidney (CA)	$9.68 \times 10^{-12} M^1$
Stomach (CA)	$9.00 \times 10^{-12} M^2$
Rat liver	$7.13 \times 10^{-10} M^1$

CA = CARCINOMA

1 ใช้เอ็นซิม 4 units

2 ใช้เอ็นซิม 0.7 unit

4. การศึกษาค่า Turnover number ของ dihydrofolate reductase จากเนื้อเยื่อ
มะเร็งของไทดและกระเพาะคน

Turnover number เป็นค่าที่แสดงถึงสมรรถนะของ เอ็นซิมที่สามารถเปลี่ยนจำนวน mole ของ substrate หรือ dihydrofolate ให้เป็น product หรือ tetrahydrofolate ในเวลา 1 นาที ด้วย เอ็นซิม 1 mole จากการทดลองหาค่า turnover number พบว่า เอ็นซิม dihydrofolate reductase จากเนื้อเยื่อมะเร็งของไทดและมะเร็งของกระเพาะ มีค่าเท่ากับ 36,345 และ 15,421 ตามลำดับ เมื่อเปรียบเทียบกับ เอ็นซิมจากเนื้อเยื่อ ตับหมูซึ่งมีค่าเท่ากับ 5,154 ตั้งได้แสดงไว้ในตารางที่ 9

วิจารณ์และสรุป

สมรรถนะของ dihydrofolate reductase ในเนื้อเยื่อมะเร็ง

การศึกษา เอ็นซีพี dihydrofolate reductase ในเนื้อเยื่อมะเร็งของอวัยวะทางเดินอาหารได้แก่ ผนังทวาร (ตารางที่ 3) ลำไส้ใหญ่ (ตารางที่ 4) และกระเพาะอาหาร (ตารางที่ 5) พบว่า เนื้อเยื่อมะเร็ง เหล่านี้มี เอ็นซีพี dihydrofolate reductase อよุในระดับต่าง ๆ กัน ในขณะที่ในเนื้อเยื่อปกติไม่สามารถตรวจพบ activity ของ เอ็นซีพี ด้วยวิธีการวิเคราะห์ที่ใช้นี้ นอกจากในเนื้อเยื่อปกติของกระเพาะอาหาร 1 ตัวอย่างที่พบมี เอ็นซีพีอよุในระดับที่สามารถตรวจพบได้แต่ก็มีระดับที่ต่ำกว่าที่พบใน เนื้อเยื่อมะเร็งของกระเพาะเนื่องจาก เนื้อเยื่อปกติที่นำมาทดลองนั้นได้จากผู้ตายอุบัติเหตุซึ่งไม่ได้มีการพิสูจน์ทางพยาธิสภาพของผู้ตายว่า เจ็บป่วยเป็นโรคหรือมีความผิดปกติของกระเพาะอาหารหรือไม่ อันอาจ เป็นสาเหตุให้มี เอ็นซีพี dihydrofolate reductase สูงขึ้นจนตรวจพบได้ แต่อย่างไรก็ต้องระดับของ เอ็นซีพีของ เนื้อเยื่อปกติที่ตรวจพบก็ยังมีระดับต่ำกว่าที่พบใน เนื้อเยื่อมะเร็งของกระเพาะประมาณ 2 เท่า เมื่อเทียบ activity ของ เอ็นซีพีต่อกรัมเนื้อเยื่อ activity ของ dihydrofolate reductase ที่พบในเนื้อเยื่อมะเร็งของทางเดินอาหารมีระดับแตกต่างกัน ทั้งนี้อาจขึ้นกับระดับของการเกิดโรค จากการศึกษาของ Duch et al (50) พบว่าการทำให้เกิดมะเร็งของเนื้อเยื่อมะเร็งโดยหนูทดลองได้ยาน้ำด้วย Avian sarcoma virus (ASV) จะมีระดับของ dihydrofolate reductase activity เพิ่มขึ้น เมื่อมีการเติบโตของมะเร็ง เพิ่มมากขึ้น

การศึกษา activity ของ เอ็นซีพีนี้จาก เนื้อเยื่อมะเร็งของอวัยวะอื่น ๆ ได้แก่ ไห (ตารางที่ 6) ปอด (ตารางที่ 7) และเต้านม (ตารางที่ 8) พบว่า เนื้อเยื่อมะเร็งทุกชนิด มี activity ของ เอ็นซีพีอよุในระดับสูงสามารถตรวจพบได้ใน เนื้อเยื่อมะเร็งของเต้านม 6 ตัวอย่าง พbm เอ็นซีพีอよุในระดับสูงใกล้เคียงกันอยู่ในช่วง 6-9 nmole/min/g tissue ในขณะที่ใน เนื้อเยื่อปกติไม่สามารถตรวจพบ ใน เนื้อเยื่อมะเร็งของปอด 1 ตัวอย่างพบมี เอ็นซีพีอよุ

ในระดับ เติบโตที่พบในเนื้อเยื่อมะเร็งเต้านม ในเนื้อเยื่อปอดปกติ 1 ตัวอย่างพบมีเอนไซม์อยู่ในระดับที่ตรวจพบได้แต่ยังไรก็ติ พนบมีเอนไซม์น้อยกว่าที่พบในเนื้อเยื่อมะเร็งประมาณ 2 เท่า ในเนื้อเยื่อมะเร็งของไตตรวจพบ activity ของ dihydrofolate reductase มีอยู่ในระดับสูงที่สุด (ตารางที่ 6) เมื่อเทียบกับระดับของเอนไซม์ในเนื้อเยื่อมะเร็งอื่น ๆ ที่ศึกษาทั้งหมดในขณะที่เนื้องเยื่อปกติ 3 ตัวอย่างตรวจไม่พบเอนไซม์เลย

ได้เคยมีรายงานมานานแล้วว่าในคนไข้ acute leukemia และคนไข้ chronic myelogenous leukemia พบว่าในเซลล์เม็ดเลือดขาวมีเอนไซม์ dihydrofolate reductase อยู่ในระดับที่ตรวจพบได้ ในขณะที่ตรวจไม่พบเอนไซม์ในเซลล์ chronic lymphatic leukemia หรือเซลล์เม็ดเลือดขาวปกติ (44)

จากการศึกษาของ Abelson et al (51) ได้รายงานการวิเคราะห์จาก 1 ตัวอย่างของเนื้อเยื่อมะเร็งเต้านม (breast adenocarcinoma) พนบมี activity ของเอนไซม์อยู่ 3.5×10^{-14} mole/min/mg protein จะเห็นได้ว่า specific activity ของเอนไซม์จากมะเร็งเต้านมในการศึกษาครั้งนี้มีค่าสูงกว่า ทั้งนี้อาจ เป็นผลจากการทำเอนไซม์ให้บริสุทธิ์ขึ้นหนึ่งนั้นต่างกันโดยการหลองที่กล่าวถึงนั้นใช้ ammonium sulfate ในการทำเอนไซม์ให้บริสุทธิ์ การศึกษาเนื้อเยื่อมะเร็งของสมองของคนพนบมี activity ของเอนไซม์ dihydrofolate reductase ในปริมาณสูง (50,51) ในขณะที่แทนจะไม่พบเอนไซม์นี้เลยในเนื้อเยื่อสมองปกติของสัตว์โตเดิมที่แล้ว (58,59) นอกจากนี้ในเซลล์มะเร็งของคนทรายชนิดที่เพาะเลี้ยงและเซลล์มะเร็งที่เหนียวแน่นโดยเชื้อไวรัสทรายชนิดก็พบมีระดับของ dihydrofolate reductase สูง (50) การเพิ่มสมรรถนะของเอนไซม์ dihydrofolate reductase ในเซลล์มะเร็งอาจเป็นผลเนื่องจากการเพิ่ม activity ของเซลล์อย่างรวดเร็วในการสร้างกรดมิวคลีคและโปรตีน (60,61) จากการศึกษานี้จะเห็นได้ว่าเนื้อเยื่อที่เป็นมะเร็งทุกชนิดที่น้ำม้าศึกษาพบมี activity ของเอนไซม์ dihydrofolate reductase สูงกว่าที่พบในเนื้อเยื่อของเซลล์ปกติ

ผลของ methotrexate ต่อ dihydrofolate reductase

สารต้านเอนไซม์ dihydrofolate reductase ตัวหนึ่งคือ methotrexate ได้ถูกนำมาใช้อย่างกว้างขวางในปัจจุบันในการรักษาโรคมะเร็งทรายชนิดรวมทั้งมะเร็งเต้านมและ

มะเร็งของเม็ด เสือคดาวา (62-64) methotrexate พบร้าสามารถห้ามการทำงานของเอนซิม dihydrofolate reductase โดยยาจะไปจับกับ เอ็นซิมได้อย่างแน่นมาก เมื่อจับกันแล้วจะมีอัตราการแยกออกน้อยมาก (42) มีการจับของหนึ่งโมเลกุลของ methotrexate กับหนึ่งโมเลกุลของเอนซิม การห้ามของยา methotrexate ต่อเอนซิม เป็นแบบที่เรียกว่า stoichiometric inhibition (42) จากปรากฏการณ์เช่นนี้ทำให้สามารถใช้ยา methotrexate มาทำการ titrate หาปริมาณของ เอ็นซิม ใน tissue extracts ได้ (11) จากการศึกษานี้ได้ใช้วิธี methotrexate titration วัดหาปริมาณของ เอ็นซิม dihydrofolate reductase ในเนื้อเยื่อมะเร็งของอวัยวะไตและกระเพาะ พบร้ามีปริมาณ เอ็นซิม เท่ากับ 1.29×10^{-12} mole/g. tissue หรือ 5.09×10^{-14} mole/mg. protein และ 3.34×10^{-13} mole/g. tissue หรือ 1.07×10^{-14} mole/mg. protein ตามลำดับ การทดลอง titrate โดยเพิ่มความเข้มข้นของ MTX พบร้า activity ของเอนซิมจะลดลงโดยมีความสัมพันธ์เป็นเส้นตรง (รูปที่ 2 และ 4) ใช้ความเข้มข้นของ MTX เท่ากับ 1.935×10^{-11} M และ 12.0×10^{-12} M มา titrate กับการเพิ่มปริมาณ เอ็นซิมจากเนื้อเยื่อมะเร็งของไตและกระเพาะตามลำดับ เพื่อหาความเข้มข้นของ เอ็นซิมที่สมบูรณ์พอตีกับความเข้มข้นของ MTX ที่ใช้ (รูปที่ 3 และ 5) จากการทดลองที่ได้พบว่าปริมาณของ เอ็นซิมในเนื้อเยื่อมะเร็งของอวัยวะทึ้งสองมีค่าที่ต่างกัน ทั้งนี้อาจขึ้นกับระยะของการเกิดโรคซึ่งควรจะได้มีการศึกษาต่อไป การศึกษาในอวัยวะตับหมูซึ่งเป็นอวัยวะที่มีการสร้างกรดมิวคลีดิคและโปรตีนตลอดเวลาพบว่ามีเอนซิม dihydrofolate reductase อยู่ในระดับสูง เช่นกัน (รูปที่ 6,7 และตารางที่ 9) จากการศึกษาของ Abelson et al (5) จากเนื้อเยื่อมะเร็งของสมอง พบร้าการจับของ MTX กับ เอ็นซิมมีค่าอยู่ในช่วง 10^{-14} - 10^{-13} mole MTX/mg protein ซึ่งจะเห็นได้ว่าไกล์ เดียงกับค่าที่ได้จากการศึกษานี้ในมะเร็งของอวัยวะไตและกระเพาะ (ตารางที่ 9) และจากการนี้จะเห็นได้ว่านี่เป็นหนึ่งมิลลิกรัมของโปรตีนของสารละลาย เอ็นซิมจากเนื้อเยื่อมะเร็งของไตและกระเพาะที่ทำให้บริสุทธิ์ด้วย protamine sulfate จะมีปริมาณของ เอ็นซิมอยู่ในจำนวนไกล์เดียงกัน

การเปรียบเทียบสมรรถนะโดย เอ็นซิม turnover number

การหาค่า turnover number ของเอนซิม dihydrofolate reductase จากการท่า methotrexate titration ของ เอ็นซิมจากเนื้อเยื่อมะเร็งของไต และมะเร็งของ

กระเพาะมีค่าเท่ากับ 36,345 และ 15,421 mole/min/mole of enzyme ตามลำดับดังแสดงไว้ในตารางที่ 9 พบว่ามีค่าสูงเมื่อเทียบกับค่า turnover number ของเอนไซม์ในตับทูงซึ่งมีค่าเท่ากับ 5,154 mole/min/mole of enzyme ผลที่ได้มีอาจเสนอแนะได้ว่า เอ็นไซม์ของเนื้อเยื่อในเซลล์มะเร็งมีสมรรถนะที่สูงกว่าในการทำงานของมันซึ่งอาจเป็นผลมาจากการเพิ่มการเจริญเติบโตอย่างรวดเร็วของอวัยวะที่เปลี่ยนแปลงไปเป็นเซลล์มะเร็งซึ่งมีการสร้างกรดนิวคลีอิกและโปรตีนสูงอย่างรวดเร็ว (60,61) นั่นเอง

การห้ามของ methotrexate ต่อ dihydrofolate reductase จากเนื้อเยื่อมะเร็งของไส้และกระเพาะ

การทดลองทางความสามารถในการห้ามเอนไซม์ dihydrofolate reductase จากเนื้อเยื่อมะเร็งของไส้และกระเพาะได้แสดงไว้ในรูปที่ 2 และ 4 ตามลำดับ ค่าความเข้มข้นของ methotrexate ที่สามารถห้ามการทำงาน 50% ของเอนไซม์มีค่าเท่ากับ 9.68×10^{-2} M และ 9.00×10^{-12} M ตามลำดับ (ตารางที่ 10) ความสามารถการห้ามเอนไซม์โดย methotrexate เปรียบเทียบกับตับทูงได้แสดงไว้ในรูปที่ 8 และตารางที่ 10 I_{50} ของเอนไซม์ในตับทูงเท่ากับ 7.13×10^{-10} M จากผลการทดลองนี้แสดงว่า เอ็นไซม์จากเนื้อเยื่อมะเร็งมีความไวต่อการห้ามด้วย MTX ได้ตึกว่า เอ็นไซม์จากตับทูง

เมื่อจาก methotrexate เป็นยาที่นิยมใช้ เพื่อยับยั้งการเจริญของมะเร็งหล่ายนิค (64) แต่ยังไง เมื่อฉะทำให้เซลล์มีการพัฒนาเกิดการต้านยาขึ้นได้โดยเกิดเนื่องจากการเปลี่ยนแปลงที่การผ่านเข้าเซลล์ (65,66) หรือการเปลี่ยนแปลงการลดการจับของเอนไซม์กับ MTX (67-69) ได้มีผู้พยายามใช้ยา MTX ในขนาดสูงมาก ๆ เพื่อการรักษาโดยเชื่อว่ายาในขนาดสูง ๆ จะป้องกันหรือทำให้การต้านยาเกิดขึ้นช้าลง (70,71) และการใช้ยาในขนาดสูงมาก เช่นนี้ได้มีผู้พยายามศึกษาเพื่อใช้ leucovorin และสารอื่น ๆ ช่วยแก้พิษของยาต่อเซลล์ปกติ (72-74) จากการศึกษาครั้งนี้เป็นการยืนยันว่าในเนื้อเยื่อมะเร็งที่นำมาทดลองมีการเพิ่มของเอนไซม์ dihydrofolate reductase และเอนไซม์นี้ที่ศึกษาในเนื้อเยื่อมะเร็งของไส้และกระเพาะของคนไข้พบว่ามีความไวต่อการฤกษ์ห้ามด้วยยา methotrexate ดังนั้นการที่จะใช้ยา methotrexate เพื่อต้านมะเร็งของอวัยวะต่าง ๆ ที่มีเอนไซม์ dihydrofolate reductase จึงน่าจะกระทำได้ผลดี

งานวิจัยนี้จะได้มีการศึกษาต่อไปอีกดังต่อไปนี้คือ

1. ความสัมพันธ์ของระยะเวลา เกิดมะเร็งกับปริมาณของ เอ็นซิม์ dihydrofolate reductase จะทำให้ได้ข้อมูลในการใช้ยาให้ได้ผลดีที่สุดในระยะใดของการเกิดโรค ถ้าในแต่ละระยะของโรคมี activity ของ เอ็นซิม์ต่างกัน
2. ศึกษาสาร antimetabolites อีน ๆ ที่อาจมีผลห้ามการทำงานของ dihydrofolate reductase ในเนื้อเยื่อมะเร็งของคนได้
3. ศึกษาคุณสมบัติอีน ๆ ของเอ็นซิม์จากเนื้อเยื่อมะเร็งของคนไข้ เพิ่มเติมให้มากกว่านี้
4. ศึกษา เอ็นซิม์จากตัวอย่าง เนื้อเยื่อมะเร็งของอวัยวะต่าง ๆ เพิ่มเติมให้มากขึ้น ซึ่งการศึกษานี้อาจต้องใช้เวลานานมากในการรอคอยตัวอย่างซึ่งขึ้นอยู่กับว่าจะมีคนไข้มาให้ศึกษา หรือไม่ซึ่งไม่สามารถกระทำได้ภายในเวลาเพียง 1 หรือ 2 ปีเท่านั้น

เอกสารอ้างอิง

1. Blakley, R.L. (1981), Molecular Action and Targets for Cancer Chemotherapeutic Agents (Sartorelli, A.C., Lazo, J.S. and Bartino, T.R, Eds.) pp 303-332, Academic Press. New York.
2. Hitchings G.H. and Roth, B. (1980) Enzyme Inhibitors as Drugs. (Sandler, M. Ed.) Macmillan, London.
3. Blakley, R.L. and Mc Dougall, M.B. (1961), Dihydrofolate Reductase from Streptococcus faecalis R. J. Biol. Chem. 236(4), 1163-1167.
4. Gleisner, J.M., Peterson, D.L. and Blakley, R.L. (1974) Amino Acid Sequence of Dihydrofolate Reductase from MTX-Resistant Mutant of Streptococcus faecium and Identification of Methionine Residues at the Inhibitor Binding. Proc. Natl. Acad. Aci. U.S.A. 71, 3001-3005.
5. Gundersen, L.E., Dunlap, R.B., Harding, N.G.L., Freisheim, J.H., Otting, F. and Huenneken, F.M. (1972) Dihydrofolate Reductase from Amithopterin-Resistant Lactobacillus casei, Biochemistry 11(6), 1018-1023.
6. Bitar, K.G., Blankenship, D.T., Walsh, K.A., Dunlap, R.B., Reddy, A.V., and Freisheim, J.H. (1977) FEBS Lett. 80(1), 119-122.

7. Sirotnak, F.M. and Salser, J.S. (1971) Dihydrofolate Reductase from *Diplococcus pneumoniae*. Purification, Amino Acid Composition, and N-Terminal Amino Acid Analysis, *Arch. Biochem. Biophys.* 145, 268-275.
8. Poe, M., Greenfield, N.J., Hirshfiels, J.M., Williams, M.N., Hoogsteen, K. (1972) Dihydrofolate Reductase. Purification and Characterization of Enzyme from an Amethopterin-Resistant Mutant of *Escherichia coli*. *Biochemistry* 11(6), 1023-1030
9. Bennett, C.D. (1974) Similarity in the Sequence of *Escherichia coli* Dihydrofolate Reductase with Other Pyridine Nucleotide-requiring Enzyme. *Nature* 248, 67-68.
10. Baccanari, D.P., Stone, D. and Kuyper, L. (1981) Effect of a Single Amino Acid Substitution on *Escherichia coli* Dihydrofolate Reductase Catalysis and Ligand Binding. *J. Biol. Chem.* 256(4), 1738-1747.
11. Bertino, J.R., Booth, B.A., Bieber, A.L., Cashmore, A., Sartorelli, A.C. (1964) Studies on the Inhibition of Dihydrofolate Reductase by the Folate Antagonists. *J. Biol. Chem.* 239(2), 479-485.
12. Perkins, J.P. and Bertino, J.R., (1965) Interaction of Organic Mercurial Compounds with Dihydrofolate Reductase from Ehrlich Ascites Carcinoma Cells. *Biochemistry* 4(5), 847-853.

13. Perkins, J.P., Hillcoat, B.L. and Bertino, J.R. (1967) Dihydrofolate Reductase from a Resistant Subline of the L 1210 Lymphoma. *J. Biol. Chem.* 242(20), 4771-4776.
14. Stone, D., Paterson, S.J., Raper, J.H. and Phillips, AW. (1979) The Amino Acid Sequence of Dihydrofolate Reductase from the Mouse Lymphoma L1210 *J. Biol. Chem.* 254(2) 480-488.
15. Hakala, M.T., Zakrzewski, S.F. and Nichol, C.A. (1961) Relation of Folic Acid Reductase to Amethopterin Resistance in Cultured Mammalian Cells. *J. Biol. Chem.* 236, 952-958.
16. Nath, R. and Greenberg, D.M. (1962) Dihydrofolic Acid Reductase of Calf Thymus. *Biochemistry* 1(3), 435-441.
17. Zakrzewski, S.F. (1960) Purification and Properties of Folic Acid Reductase from Chicken Liver. *J. Biol. Chem.* 235(6), 1776-1779.
18. Kaufman, B.T. and Pierce, J.V. (1971) Purification of Dihydrofolate Reductase from Chicken Liver by Affinity Chromatography, *Biochem. Biophys. Res. Commun.* 44(3), 608-613.
19. Kumar, A.A., Blankenship, D.T., Kaufman, B.T. and Freisheim, J.H. (1980) Primary Structure of Chicken Liver Dihydrofolate Reductase. *Biochemistry* 19(4), 667-678.
20. Kaufman, B.T. and Kemerer, V.F. (1976) Purification and Characterization of Beef Liver Dihydrofolate Reductase. *Arch. Biochem. Biophys.* 172, 289-300.

21. Peterson, D.L., Gleisner, J.M., and Blakley, R.L. (1975) Bovine Liver Dihydrofolate Reductase : Purification and Properties of the Enzyme. *Biochemistry* 14(24), 5261-5267.
22. Lai, P-H., Pan, Y-C.E., Gleisner, J.M., Peterson, D.L., Williams, K.R. and Blakley, R.L. (1982) Structure of Dihydrofolate Reductase : Primary Sequence of the Bovine. *Biochemistry* 21, 3284-3294.
23. Smith, S.L., Patric, P., Stone, D., Phillip, A.W. and Burchall, J.J. (1979) Porcine Liver Dihydrofolate Reductase : Purification, Properties and Amino Acid Sequence. *J. Biol. Chem.* 254(22), 11475-11484.
24. McCullough, J.L., and Bertino, J.R. (1971) Dihydrofolate Reductase from Mouse Liver and Spleen. *Biochem. Pharmacol.* 20, 561-574.
25. Bertino, J.R., Iannotti, A.T., Perkins, J.P. and Johns, D.G. (1966) Dihydrofolate Reductase from Guinea Pig Liver and Small Intestine. *Biochem. Pharmacol.* 15, 563-571.
26. Nixon, P.F. and Blakley, R.L. (1968) Dihydrofolate Reductase of *Streptococcus faecium*. II Purification and some Properties of Two Dihydrofolate Reductase from the Amethopterin-Resistant Mutant, *Streptococcus faecium* Var. Duran Strain A. *J. Biol. Chem.* 243(18), 4722-4731.
27. D'Souza, L., Warwick, P.E. and Freisheim, J.H. (1972) Purification and Properties of Dihydrofolate Reductase from an Amethopterin-Resistant Strain of *Streptococcus faecium*. *Biochemistry* 11(8), 1528-1534.

28. Hutchison, D.J. (1971) Antifolate Resistance and the Genetic Control of Dihydrofolate Reductase Activity. *Ann. N.Y. Acad. Sci.* 186, 172-181.
29. Mathews, C.K. and Sutherland, K.E. (1965) Comparative Biochemistry of Bacterial and Phage-induced Dihydrofolate Reductase. *J. Biol. Chem.* 240(5), 2142-2147.
30. Dumlap, R.B., Gundersen, L.E. and Huennekens, F.M. (1971) Interconversion of the Multiple forms of Dihydrofolate Reductase from Amethopterin-Resistant *Lactobacillus casei*. *Biochem. Biophys. Res. Commun.* 42(5), 772-777.
31. Sartorelli, A.C., Booth, B.A. and Bertino, J.R. (1964) Folate Metabolism in Methotrexate-Sensitive and Resistant Ehrlich Ascites Cells. *Arch. Biochem. Biophys.* 108, 53-59.
32. Hakala, M.T. (1965) On the Role of Drug Penetration in Amethopterin Resistance of Sarcoma-180 Cells in vitro. *Biochim et Biophys. Acta* 102, 198-209.
33. Hakala, M.T. and Ishihara, T. (1962) Chromosomal Constitution and Amethopterin Resistance in Cultured Mouse Cells. *Cancer Res.* 22, 987-992.
34. Friedkin, M., Crawford, E., Humphreys, S.R. and Goldin, A. (1962) The Associate of Increased Dihydrofolate Reductase with Amethopterin Resistance in Mouse Leukemia. *Cancer Res.* 22, 600-606.

35. Misra, D.K., Stewart, R., Humphreys, S.R., Friedkin, M., Goldin, A. and Grawford, E.J. (1961) Increased Dihydrofolate Reductase Activity as a Possible Basis of Drug Resistance in Leukemia. *Nature* 189(4758), 39-42.
36. Blakley, R.L. (1969) The Biochemistry of Folic Acid Related Pteridines, Amsterdam, North-Holland Publishing Co. p 139-187.
37. Pongsamart, S., Lai, P-H., Williams, K.R. and Blakley, R.L. Unpublished results.
38. Zakrzewski, S.F. (1963) The Mechanism of Binding of Folate Analogues by Folate Reductase. *J. Biol. Chem.* 238(4), 1485-1490.
39. Kaufman, B.T. (1963) Activation of dihydrofolic Reductase by Urea and Formamide. *Biochem. Biophys. Res. Commun.* 10(6), 449-453.
40. Burchall, J.J. and Hitchings, G.H. (1965) Inhibitor Binding Analysis of Dihydrofolate Reductase from Various Species. *Molec. Pharmac.* 1, 126-136.
41. Zakrzewski, S.F. (1960) Studies on the Substrate Specificity of Folic Acid Reductase. *J. Biol. Chem.* 235(6), 1780-1784.
42. Werkheiser, W.C. (1961). Specific Binding of 4-Amino Folic Acid Analogues by Folic Acid Reductase. *J. Biol. Chem.* 236(3), 888-893.
43. Peters, J.M. and Greenberg, D.M. (1959) Studies on Folic Acid Reduction. *Biochim. et. Biophys. Acta.* 32, 273-274.

44. Bertino, J.R., Gabrio, B.W. and Huennekens, F.M.. (1960).
Dihydrofolate Reductase in Human Leukemic Leukocytes.
Biochem. Biophys. Res. Commun. 3, 461-465.
45. McCullough, J.L., Nixon, P.F., Bertino, J.R. (1971) Discussion
Paper : Kinetic Investigation of the Reaction Mechanism
of Dihydrofolate Reductase from L 1210 Cells. Ann. N.Y. Acad.
Sci. 186, 131-142.
46. Freisheim, J.H., Smith, C.C. and Guzy, P.M. (1972) Dihydrofolate
Reductase and Thymidylate Synthetase in Strains of
Streptococcus faecium Resistant to Pyrimethamine,
Chloguanidine, Triazine, Trimethoprim. and Amethopterin,
Arch. Biochem. Biophys 148, 1-9.
47. Bertino, J.R., Simmons, B. and Donohue, D.M. (1964) Levels of
Dihydrofolate Reductase and the Formate-Activating Enzyme
Activities in Guinea Pig Tissues Before and After Amethop-
terin Administration. Biochem. Pharmacol. 13, 225-233.
48. Spector, R, Levy, P. and Abelson, H.T. (1977) Identification of
Dihydrofolate Reductase in Rabbit Brain. Biochem.
Pharmacol. 26, 1507-1511.
49. Pollock, R.J. and Kaufman, S. (1978) Dihydrofolate Reductase is
Present in Brain. J. Neurochem. 30, 253-256.
50. Duch, D.S., Biger, D.D., Bowers, S.W. and Nichol, C.A. (1979)
Dihydrofolate Reductase in Primary Brain Tumours, Cell
Cultures of Central Nervous System Origin, and Normal
Brain During Fetal and Neonatal Growth. Cancer Res. 39,
487-491.

51. Abelson, H.T., Fosburg, M., Gorka, C. and Kornblith, P. (1978) Identification of Dihydrofolate Reductase in Human Central-Nervous-System Tumours. *Lancet* 1, 184-185.
52. Friedkin, M., Crawford, E.J. and Misra, D. (1962) Reduction of Folate Derivatives with Dithionite in Mercaptoethanol. *Fed. Proc.* 21, 176.
53. Futterman, S., (1957) Enzymatic Reduction of Folic Acid and Dihydrofolic Acid to Tetrahydrofolic Acid. *J. Biol. Chem.* 228, 1031-1038.
54. Lowry, O.H., Rosebrough, N.J., Farr, A.L., and Randall, R.J. (1951) Protein Measurement with the Folin Phenol Reagent. *J. Biol. Chem.* 193, 265-275.
55. Mathews, C.K. and Huenneken, F.M. (1963) Further Studies on Dihydrofolate Reductase. *J. Biol. Chem.* 238(10), 3436-3442.
56. Hillcoat, B.L., Nixon, P.E., and Blakley, R.L. (1967) Effect of Substrate Decomposition on the Spectrophotometric Assay of Dihydrofolate Reductase. *Anal. Biochem.* 21, 178-189.
57. Baccanari, D.P., Tansik, B.L., Peterson, S.J. and Stone, D. (1984) Characterization and Amino Acid Sequence of *Neisseria gonorrhoeae* Dihydrofolate Reductase. *J. Biol. chem.* 259(19) 12291-12298.
58. Lynn, R., Rueter, M.E. and Guynn, R.W. (1977) Mammalian Brain Dihydrofolate Reductase. *J. Neurochem.* 29, 1147-1149.

59. Spector, R., Levy, P. and Abelson, H.T. (1977) The Development and Regional Distribution of Dihydrofolate Reductase in Rabbit Brain. *J. Neurochem.* 29, 919-921.
60. Goldman, D. (1974), The Mechanism of Action of Methotrexate I. Interaction with a Low-Affinity Intracellular Site Required for Maximum Inhibition of Deoxyribonucleic Acid Synthesis in L-Cell Mouse Fibroblasts. *Mole. Pharmacol.* 10, 257-274.
61. Kaminskass, E. (1982), Effects of Methotrexate on Ribonucleotide Pools in Growing and in Growth-arrested Tumor Cells and Antagonism by RNA Synthesis Inhibitors. *J. Biol. Chem.* 257(8), 4279-4284.
62. Carmo-Pereira, J., Costa, F.O. and Henriques, E. (1981) Chemotherapy of Advanced Breast Cancer : A Randomized Trial of Vincristine, Adriamycin, and Cyclophosphamide (VAC) Versus Cyclophosphamide, Methotrexate, 5-Fluorouracil, and Prednisolone (CMFP). *Cancer.* 48, 1517-1521.
63. Hryniuk, W.M. (1975) The Mechanism of Action of Methotrexate in Cultured L5178Y Leukemia Cells. *Cancer Research* 35, 1085-1092.
64. Jolivet, J., Cowan, K.H., Curt, G.A., Glendeminn, N.J. and Chabner, B.A. (1983). The Pharmacology and Clinical Use of Methotrexate. *N Engl J Med.* 309(18):1094-1104.

65. Hill, B.T., Bailey, B.D., White, J.C., Goldman, I.D. (1979)
Characteristics of Transport of 4-Amino Antifolates and
Folate Compounds by Two Lines of L5178Y Lymphoblasts,
One with Impaired Transport of Methotrexate. Cancer
Res. 39:2440-2446.
66. Sirotnak, F.M., Moccio, D.M., Kelleher, L.E., Goutas, L.J. (1981)
Relative Frequency and Kinetic Properties of Transport-
Defective Phenotypes Among Methotrexate-Resistant L1210
Clonal Cells Derived in vivo. Cancer Res. 44:4447-4452.
67. Flintoff, W.F., Essani, K, (1980) Methotrexate-Resistant Chinese
Hamster Ovary Cells Contain a Dihydrofolate Reductase
with an Altered Affinity for Methotrexate. Biochemistry,
19:4321-4327.
68. Jackson, R.C., Niethammer, D., (1977). Acquired Methotrexate
Resistance in Lymphoblasts Resulting from Altered Kinetic
Properties of Dihydrofolate Reductase. Eur. J. Cancer.
13:567-575.
69. Goldie, J.H., Krystal, G., Hartley, D., Gudauskas, G., Dedhar, S.
(1980). A Methotrexate Insensitive Variant of folate
Reductase Present in Two Lines of Methotrexate-Resistant
L5178Y Cells. Eur. J. Cancer 16:1539-1546.
70. Hill, B.T., Dedhar, S., Goldie, J.H. (1982). Evidence that at
"High" Extracellular Methotrexate Concentrations the
Transport Barrier is Unlikely to be an Important Mechanism
of Drug Resistance. Biochem. Pharmacol. 31:263-266.

71. Schrecker, A.W., Mead, J.A.R., Greenberg, W.H., Goldin, A. (1971)
Dihydrofolate Reductase Activity of Leukemia L1210
During Development of Methotrexate Resistance. Biochem.
Pharmacol 20, 716-718.
72. Hamel, E., Johnson, G., Glaubiger, D. (1981). Pharmacokinetics
of Leucovorin Rescue Using a New Methotrexate-Independent
Biochemical Assay for Leucovorin and N⁵-Methyltetrahydro-
folate. Cancer. Treat. Rep. 65:545-553.
73. Dudman, N.P.B., Slowiaczek, P., Tattersall, MHN. (1982)
Methotrexate Rescue by 5-methyltetrahydrofolate or
5-formyltetrahydrofolate in Lymphoblast Cell Lines. Cancer.
Res. 42:502-507.
74. Chabner, B.A., and Johns, D.G. (1972) Enzymatic Cleavage of
Methotrexate Provides a Methods for Prevention of Drug
Toxicity. Nature 239:395-397.